

(参考資料 1 3 ) 地盤改良における補足

1. 地盤改良の概要

1.1 地盤改良工法の種類と適用地盤

地盤改良工法については、文献（陸上工事における深層混合処理工法設計・施工マニュアル改訂版、（財）土木研究センター、平成 16 年 3 月）では、以下の項目により分類づけられる。

- ① 対策工法を必要とする理由、目的、期待する効果
- ② 地盤の性状
- ③ 構造物の性質
- ④ 現場条件、周辺環境

地盤改良工法の種類と適用地盤・効果を表 1-1 に示す。

表 1-1 地盤改良工法の種類と適用地盤・効果

工法	適用地盤				工法の効果					
	粘性土	砂質土	粘性土 砂質土 の互層	有機 質土	沈下対策		安定対策			
					圧密沈 下促進	沈下量 減少	せん断 変形の 抑制	強度増 加促進	すべり 抵抗の 付与	液状化 の防止
表面処理工法	表層排水工法 サンドマット工法 敷設材工法 浅層混合処理工法	○		○			○	○	○	
置換工法	掘削置換工法 強制置換工法	○	○	○		○	○		○	
押さえ工法	押さえ盛土工法 緩斜面工法	○	○	○			○		○	
緩速載荷工法	漸増載荷工法 段階載荷工法	○	○	○			○			
載荷重工法	盛土荷重載荷工法 大気圧載荷工法 地下水低下工法	○	○	○	○			○		
バーチカル ドレーン工法	サンドドレーン工法 ボード系ドレーン工法	○	○	○	○		○	○		
サンドコンパ クション工法	サンドコンパクショ ンバイル工法	○	○	○	○	○	○		○	○
締固め工法	振動棒工法 動圧密工法		○			○			○	○
固結工法	深層混合処理工法 生石灰バイル工法 薬液注入工法	○	○	○	○		○	○	○	○
構造物による 工法	矢板工法 打設グイ工法 スラブ工法 カルバート工法	○	○	○	○		○	○		○

(引用：陸上工事における深層混合処理工法設計・施工マニュアル 改訂版、

(財)土木研究センター、平成 16 年 3 月)

表 1-1 に示す工法のうち、女川原子力発電所で適用している地盤改良工法としては、適用地盤や工法の効果とも幅広い「固結工法」を基本としている。固結工法のうち、主に採用した工法は深層混合処理工法（高圧噴射搅拌工法）である。

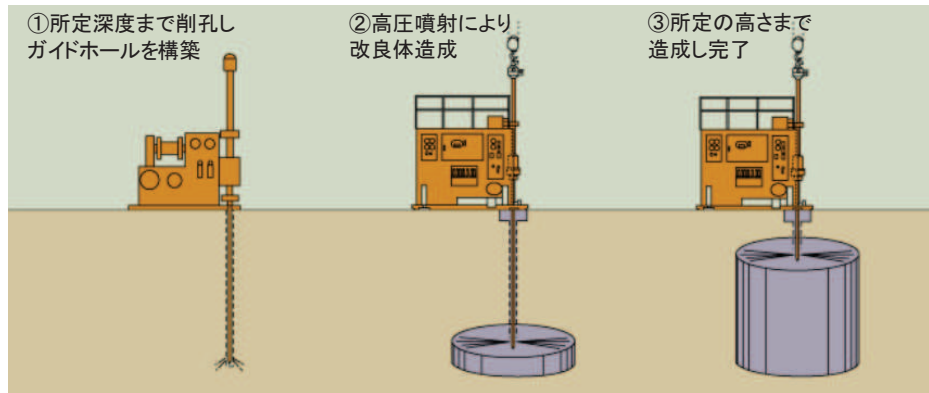
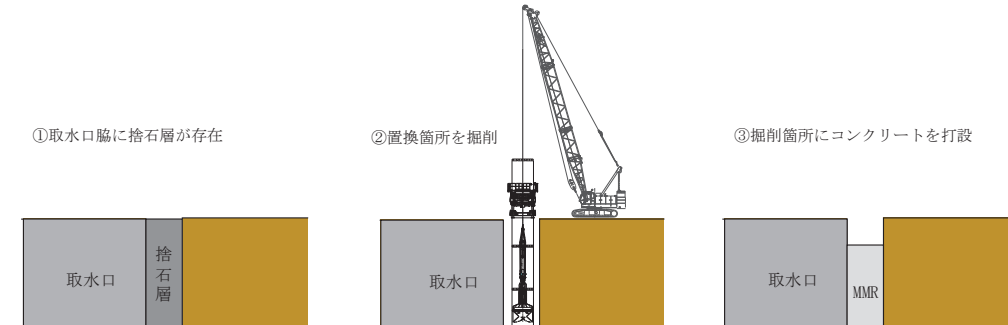
この他、置換工法として、取水口脇については、捨石層を置換するためにMMR \*置換工法を採用した。

\* : マンメイドロック

## 1.2 地盤改良の施工方法

女川原子力発電所で適用している地盤改良の施工方法の概要を表 1-2 に示す。

表 1-2 施工方法の概要

工 法	概 要
高压噴射搅拌 工法	<p>高压でセメントミルクを吐出し、原地盤を切削・搅拌することで改良体を造成する工法。地上構造物及び埋設構造物がある、開削が困難な箇所にて採用。</p>  <p>出典: SUPERJET研究会HP</p>
MMR 置換工法*	<p>原地盤を開削後に MMR を構築することで改良体を造成する工法。構造物周辺に捨石層が存在する等、高压噴射搅拌工法では改良が困難な箇所にて採用。</p> 

\* : 取水口脇の捨石層を置換するために実施。

## 2. 各施設における地盤改良体の概要

地盤改良体を設置する施設の平面配置図を図 2-1 に、地盤改良の目的を表 2-1 に示す。表 2-1 に示すとおり、地盤改良の主な目的は、構造物の支持又は変形抑制に区別される。各施設の地盤改良体の平面配置図及び配置図を図 2-2～図 2-14 に示す。

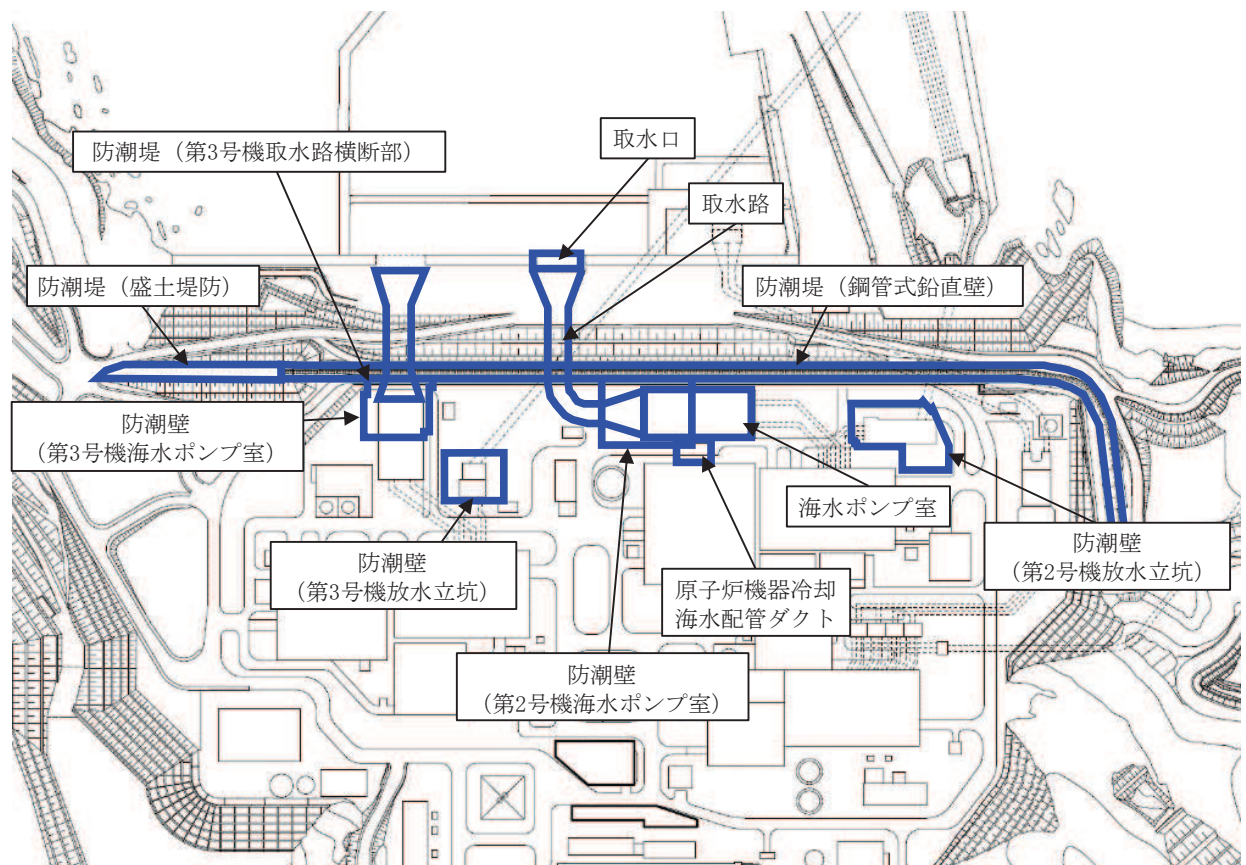


図 2-1 地盤改良体を設置する施設の平面配置図

表 2-1 地盤改良の概要

対象施設		地盤改良	
		工法	目的
土木構造物・津波防護施設	取水口	MMR 置換工法 高压噴射搅拌工法	変形抑制
	取水路		変形抑制
	海水ポンプ室		変形抑制
	原子炉機器冷却海水配管ダクト		変形抑制
	防潮堤（鋼管式鉛直壁）		支持地盤・変形抑制
	防潮堤（盛土堤防）		支持地盤
	防潮堤（第3号機取水路横断部）		変形抑制（第3号機取水路）
	防潮壁（第2号機海水ポンプ室）		変形抑制
	防潮壁（第2号機放水立坑）		変形抑制
	防潮壁（第3号機海水ポンプ室）		変形抑制
	防潮壁（第3号機放水立坑）		変形抑制

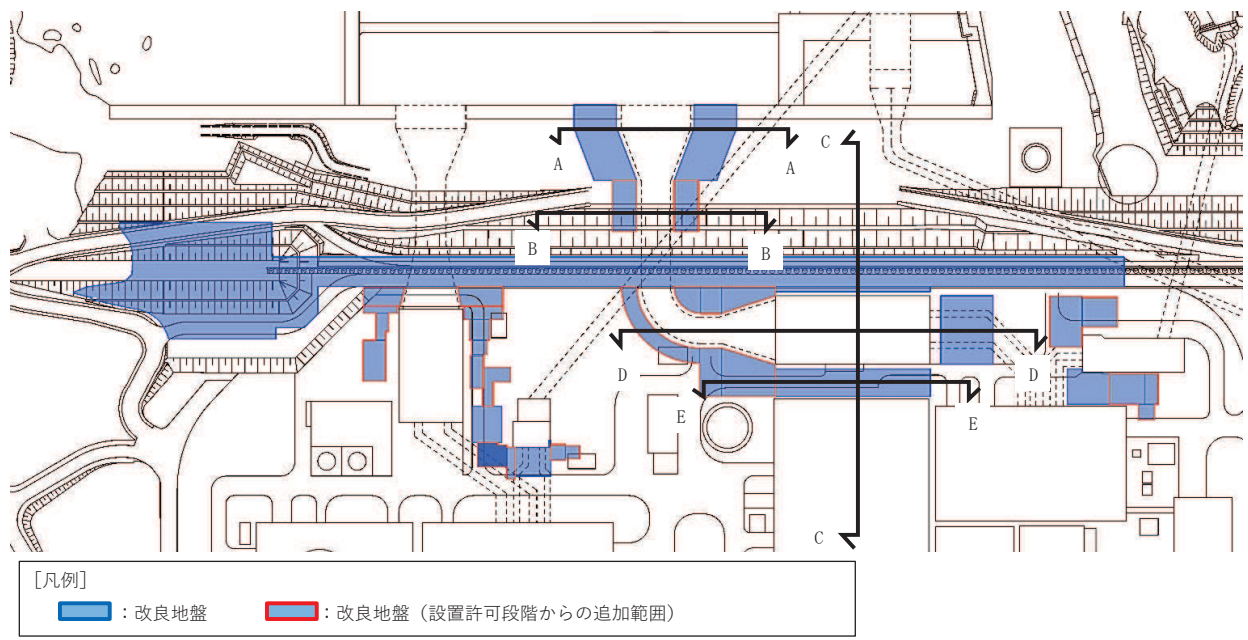


図 2-2 地盤改良体の配置図（取水口、取水路、海水ポンプ室、原子炉機器冷却海水配管ダクト）

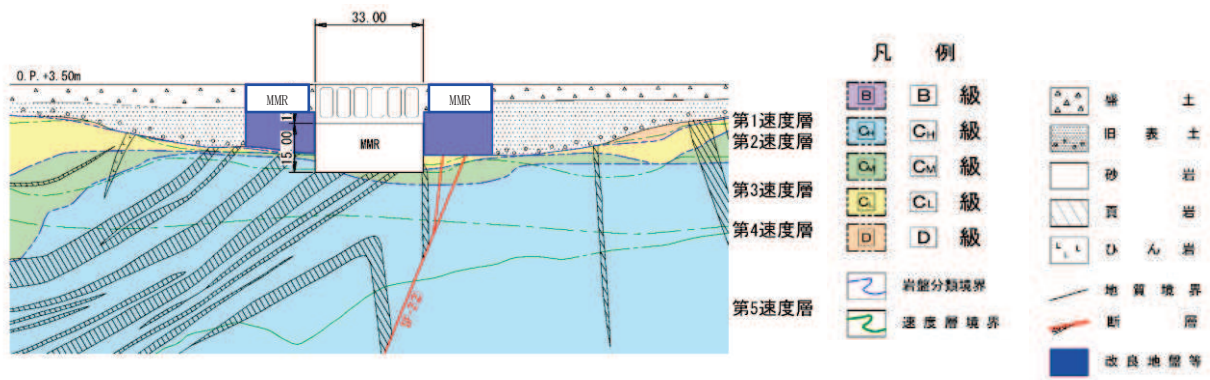


図 2-3 地盤改良体の配置図（取水口、A-A 断面）

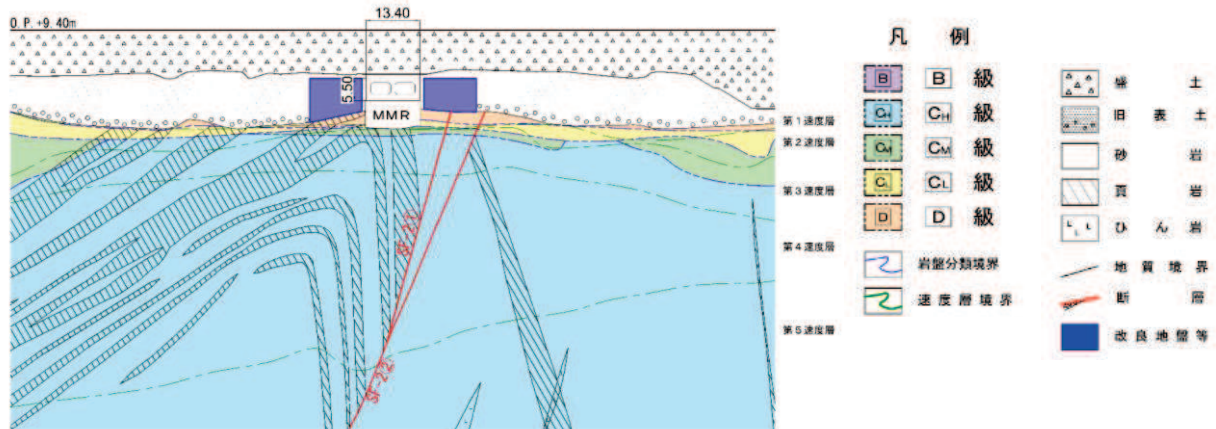


図 2-4 地盤改良体の配置図（取水路、B-B 断面）

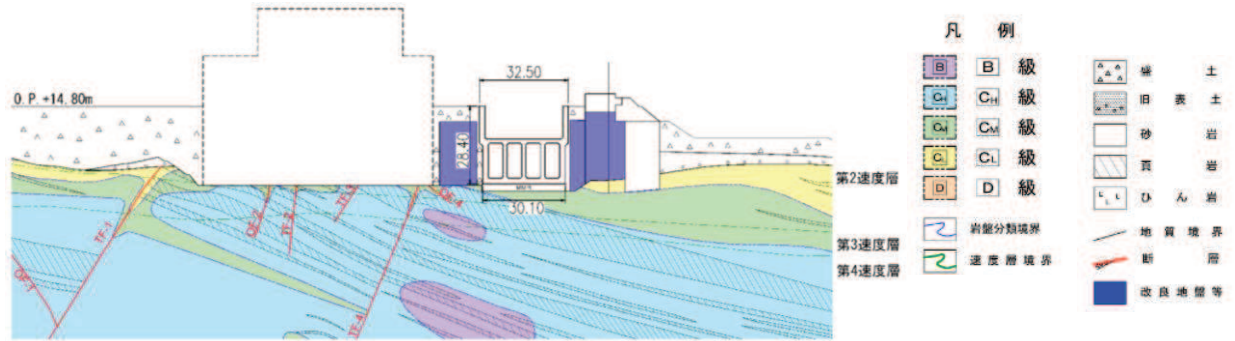


図 2-5 地盤改良体の配置図（海水ポンプ室横断, C-C 断面）

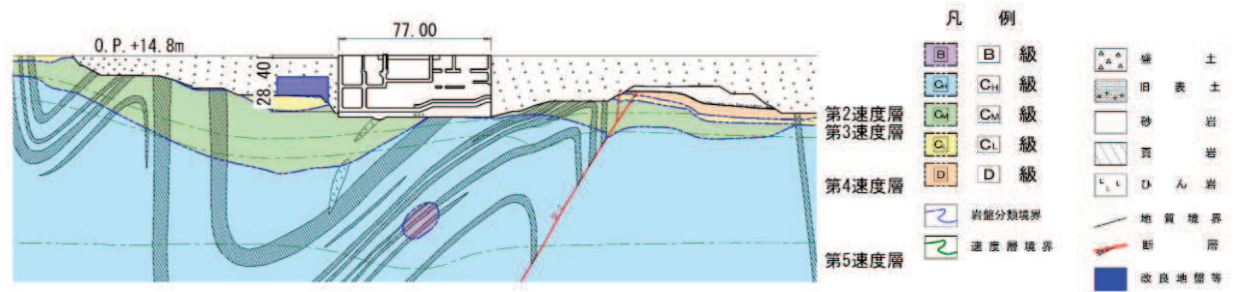


図 2-6 地盤改良体の配置図（海水ポンプ室縦断, D-D 断面）

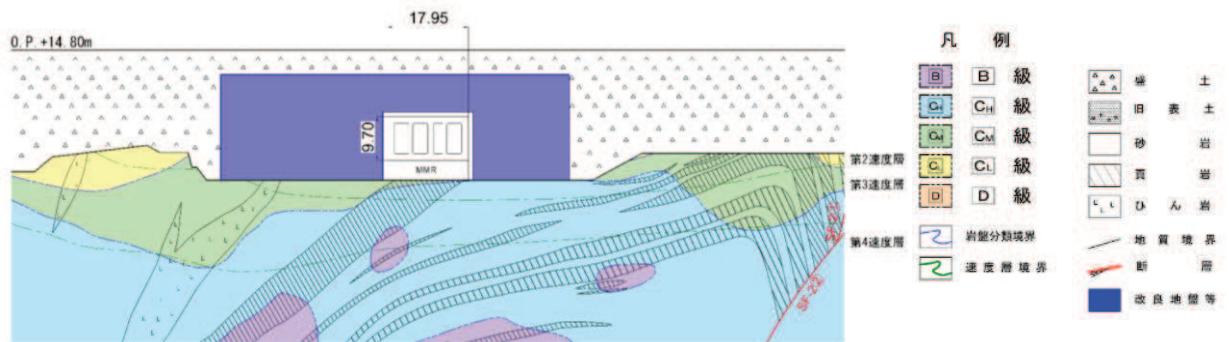


図 2-7 地盤改良体の配置図（原子炉機器冷却海水配管ダクト, E-E 断面）

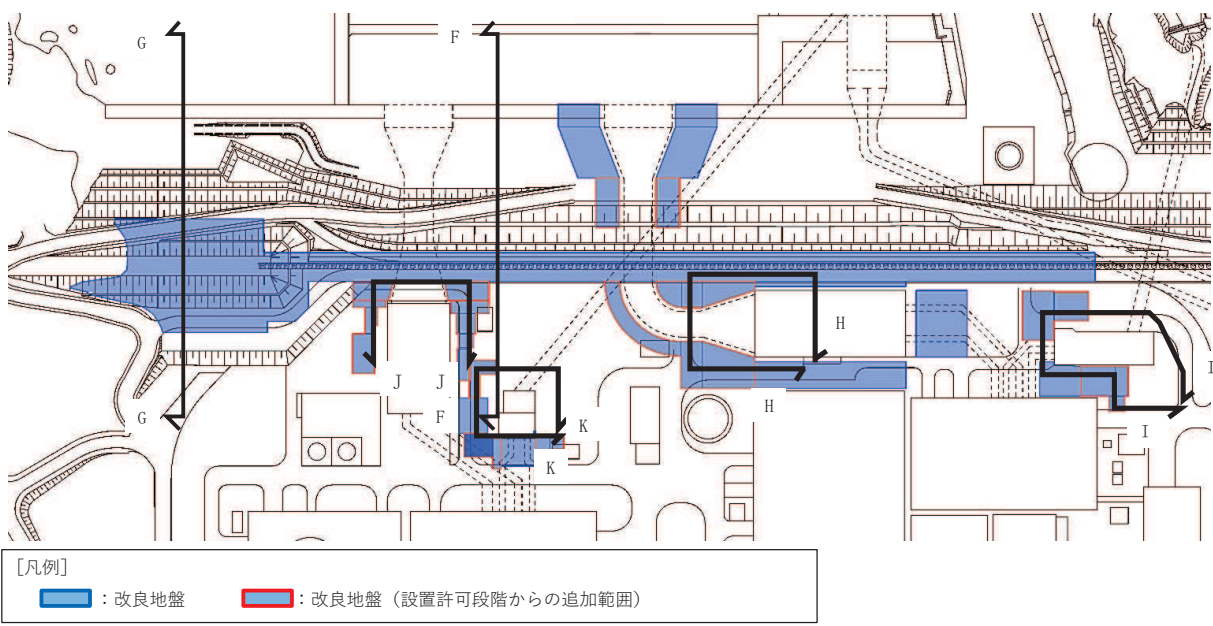


図 2-8 地盤改良体の平面配置図（防潮堤，防潮壁，防潮堤（第3号機取水路横断部））

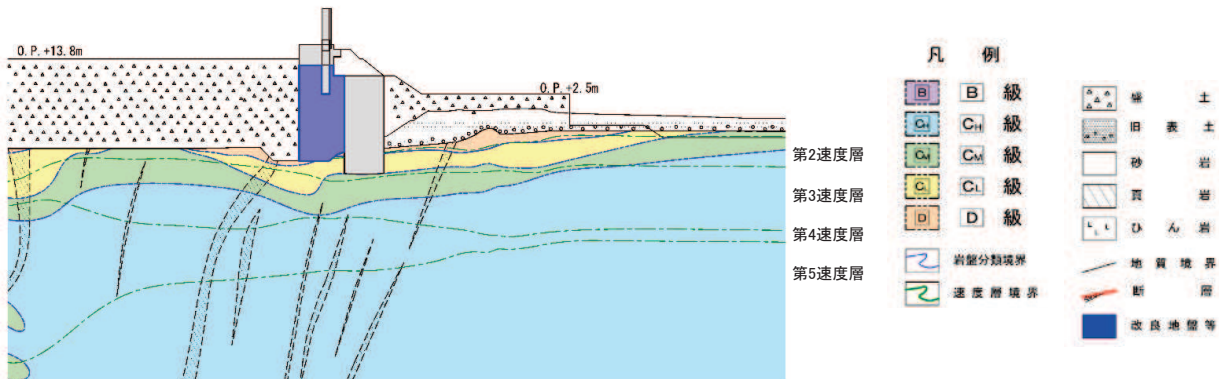


図 2-9 地盤改良体の配置図（防潮堤（鋼管式鉛直壁）一般部, F-F 断面）

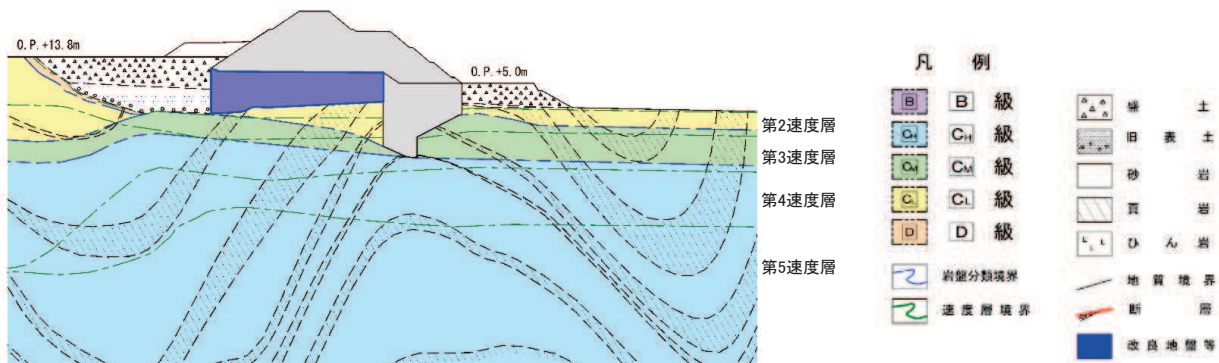
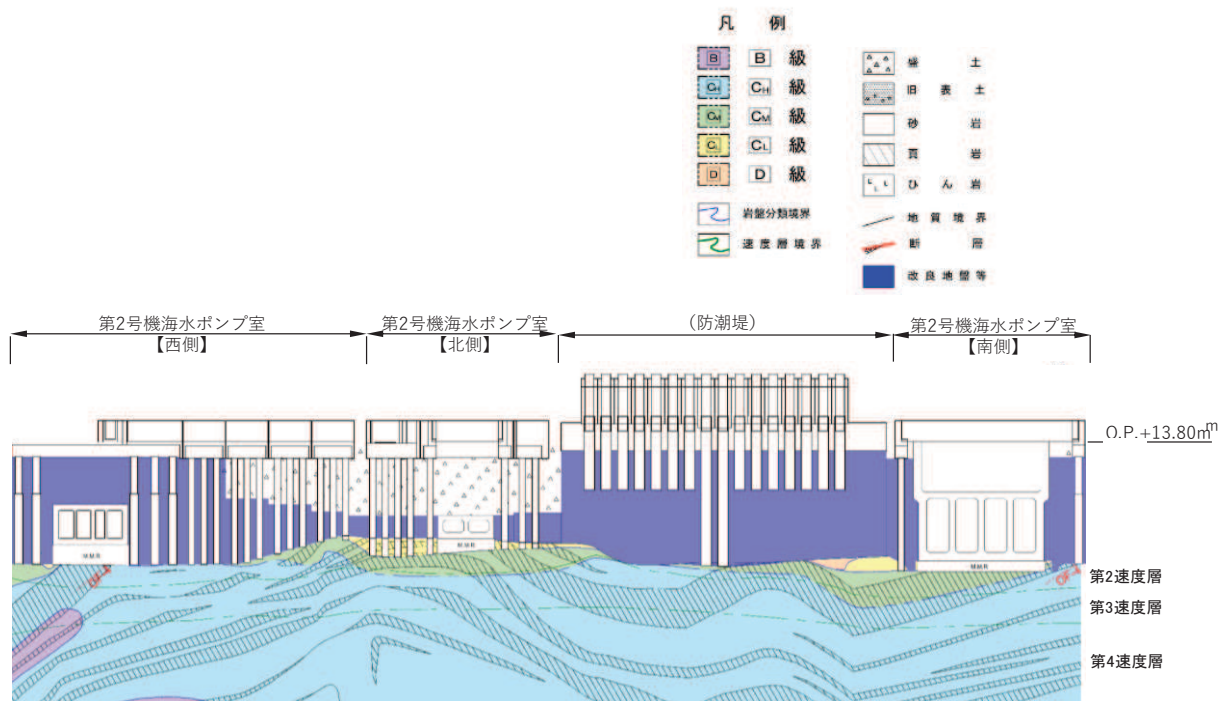
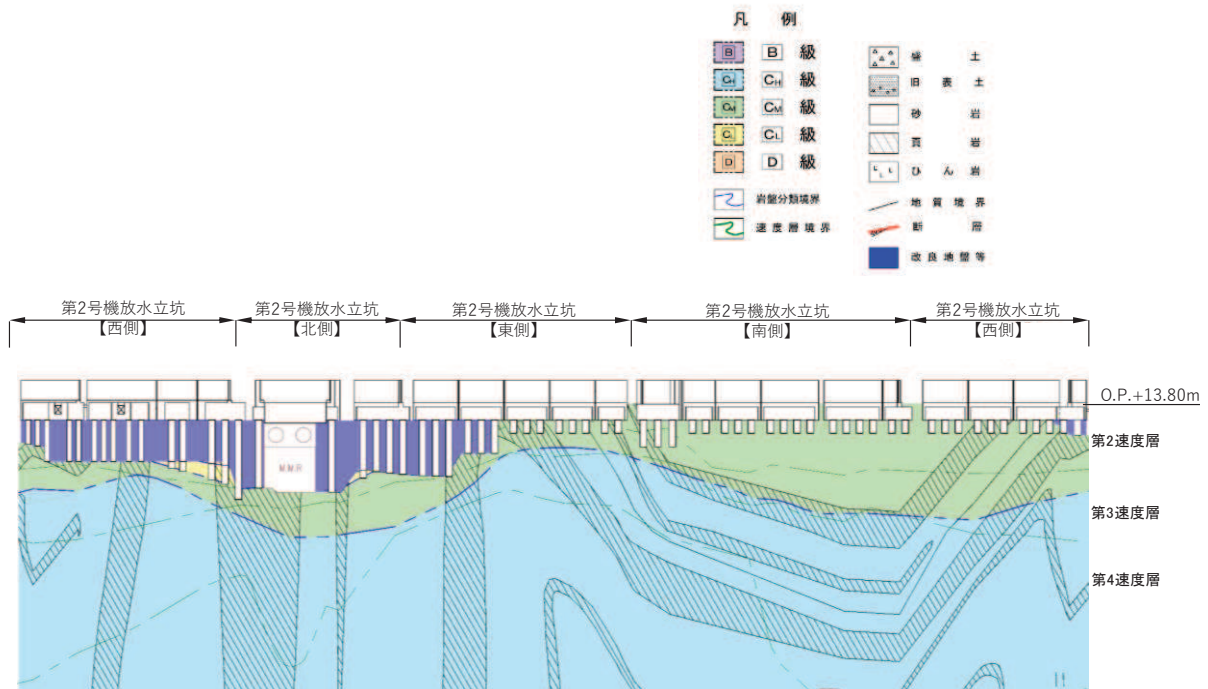


図 2-10 地盤改良体の配置図（防潮堤（盛土堤防）, G-G 断面）



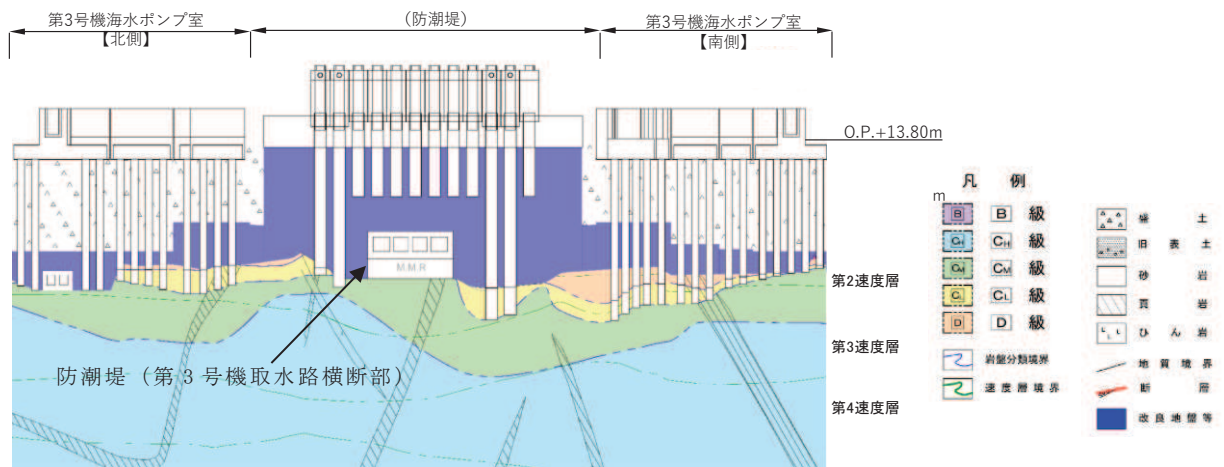
\* : 鋼管杭下端は  $C_L$  級岩盤上面とし、鋼管杭直下の  $C_L$  級岩盤部は MMR により置換。

図 2-11 地盤改良体の配置図（防潮壁（第 2 号機海水ポンプ室），H-H 断面）



\* : 鋼管杭下端は  $C_L$  級岩盤上面とし、鋼管杭直下の  $C_L$  級岩盤部は MMR により置換。

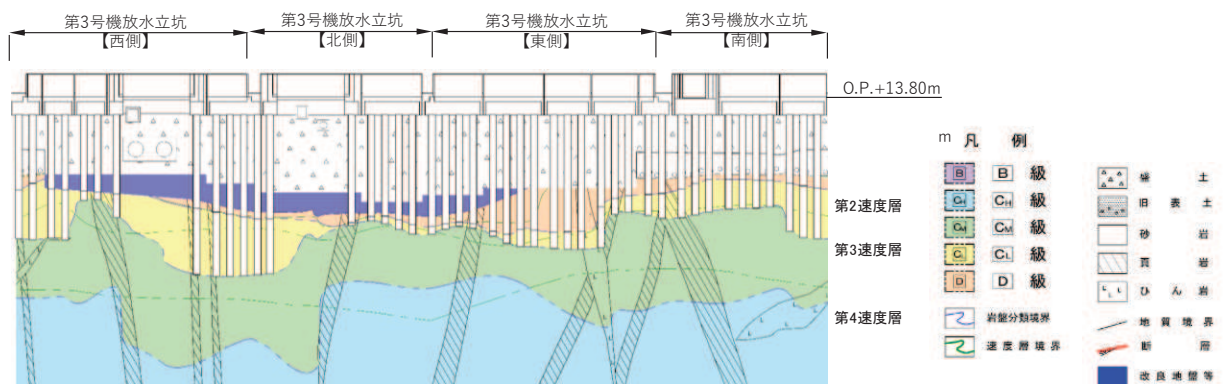
図 2-12 地盤改良体の配置図（防潮壁（第 2 号機放水立坑），I-I 断面）



\* : 鋼管杭下端は  $C_L$  級岩盤上面とし、鋼管杭直下の  $C_L$  級岩盤部は MMR により置換。

図 2-13 地盤改良体の配置図

(防潮壁 (第3号機海水ポンプ室), 防潮堤 (第3号機取水路横断部), J-J 断面)



\* : 鋼管杭下端は  $C_L$  級岩盤上面とし、鋼管杭直下の  $C_L$  級岩盤部は MMR により置換。

図 2-14 地盤改良体の配置図 (防潮壁 (第3号機放水立坑), K-K 断面)

### 3. 地盤改良体の品質確認方針

#### 3.1 品質確認項目

地盤改良体の品質確認項目を表 3-1 に示す。

防潮堤（鋼管式鉛直壁）及び防潮堤（盛土堤防）に設置する改良地盤（高圧噴射搅拌工法）は、支持地盤としての役割を有することから強度及び剛性を品質確認項目とする。他の箇所に設置する改良地盤（高圧噴射搅拌工法）は、変形抑制としての役割を有するため、剛性を品質確認項目とする。改良地盤（高圧噴射搅拌工法）の目的及び構造形式に係る分類を表 3-2 に示す。

なお、MMR置換工法については、開削及びコンクリートによる置換であり、構造物同様、コンクリート標準示方書に基づいた品質管理を行うことで所定の品質を確保する。

表 3-1 地盤改良体の品質確認項目

	対象施設	目的	品質確認項目
土木構造物・津波防護施設	取水口	変形抑制	剛性
	取水路	変形抑制	剛性
	海水ポンプ室	変形抑制	剛性
	原子炉機器冷却海水配管ダクト	変形抑制	剛性
	防潮堤（鋼管式鉛直壁）	支持地盤・変形抑制	強度及び剛性
	防潮堤（盛土堤防）	支持地盤	強度及び剛性
	防潮堤（第3号機取水路横断部）	変形抑制（第3号機取水路）	剛性
	防潮壁（第2号機海水ポンプ室）	変形抑制	剛性
	防潮壁（第2号機放水立坑）	変形抑制	剛性
	防潮壁（第3号機海水ポンプ室）	変形抑制	剛性
	防潮壁（第3号機放水立坑）	変形抑制	剛性

表 3-2(1) 改良地盤（高圧噴射搅拌工法）の目的及び構造形式に係る分類（1/2）

目的	支持地盤	
構造形式		
対象施設	防潮堤（鋼管式鉛直壁）	防潮堤（盛土堤防）

表 3-2(2) 改良地盤（高圧噴射搅拌工法）の目的及び構造形式に係る分類（2/2）

目的	変形抑制	
構造形式		
対象施設	取水口，取水路，海水ポンプ室，原子炉機器冷却海水配管ダクト，防潮堤（第3号機取水路横断部）	防潮堤（鋼管式鉛直壁），防潮壁（第2号機海水ポンプ室），第2号機放水立坑，第3号機海水ポンプ室，第3号機放水立坑）

### 3.2 品質確認準拠基準について

地盤改良工法、設置箇所及び構造物の支持機能の有無に応じて適切な基準・指針を適用する。

深層混合処理工法の基準・指針として一般的な文献を表3-3に示す。

女川原子力発電所における深層混合処理工法は、表3-2に示す支持地盤及び変形抑制を目的とした地盤改良のいずれも高圧噴射搅拌工法であり、本工法の品質管理に係る詳細な記載がされている建築センター指針を適用する。

なお、他基準・指針における考え方も参考にして品質確認を行う。

表3-3 地盤改良工法の基準・指針（深層混合処理工法）

基準・指針名	基準略称
2018年版 建築物のための改良地盤の設計及び品質管理指針 —セメント系固化材を用いた深層・浅層混合処理工法—、日本建築センター	建築センター指針
建築基礎のための地盤改良設計指針案、日本建築学会、2006	建築基礎指針
乾式キャスクを用いる使用済燃料中間貯蔵建屋の基礎構造の設計に関する技術規程、日本電気協会、平成21年	J E A C 4 6 1 6
陸上工事における深層混合処理工法設計・施工マニュアル 改訂版、（財）土木研究センター、平成16年3月	陸上工事マニュアル
港湾・空港における深層混合処理工法技術マニュアル、 （財）沿岸技術研究センター、平成26年10月	港湾・空港マニュアル

### 3.3 品質確認試験

#### 3.3.1 試験頻度

深層混合処理工法に対する諸基準・指針における必要調査箇所数を表3-4に示す。改良地盤（高圧噴射搅拌工法）における品質確認試験の頻度は、表3-4に示す建築センター指針の必要調査箇所数を満足するように、各構造物の改良地盤の施工数量に応じて設定する。

表3-4 諸基準・指針における必要調査箇所数（深層混合処理工法）

基準略称	試験頻度の目安
建築センター指針	検査対象層（改良範囲内の各土質）に対して、100本の改良コラムに1箇所以上かつ1検査対象群に1箇所以上。
(以下参考)	
建築基礎指針	改良体100本ごとに1本以上。
J E A C 4 6 1 6	改良柱300本ごとに1本以上。
陸上工事マニュアル	設計強度ごとに改良体500本未満は3本×3深度、500本以上は250本ごとに1本追加。
港湾・空港マニュアル	改良土量10000m <sup>3</sup> ごとに1本程度。

### 3.3.2 試験方法

#### (1) 品質確認試験及び基準値

各構造物において実施する改良地盤（高圧噴射搅拌工法）の品質確認試験及び基準値を表3-5に示す。

剛性については、解析上主たる物性値である動せん断弾性係数  $G_0$  を、PS検層により確認する ( $G_0 = \rho Vs^2$ ) こととし、PS検層から得られる  $G_0$  の平均値を確認する。 $G_0$  の基準値については、耐震評価の中で実施する動的解析においてばらつきを考慮することを踏まえ、PS検層から得られる  $G_0$  の平均値が解析用物性値（平均） $- \sigma$  以上であることを確認する。

なお、剛性の品質確認試験は、改良地盤を設置する全ての構造物において実施する。

防潮堤の改良地盤については、支持地盤としての役割を有し、設置変更許可段階において改良地盤の強度を使用した地盤の安定性評価を実施していることを踏まえ、強度の確認も行うこととし、試験結果から得られる強度が解析用物性値以上であることを確認する。

強度の確認においては、建築センター指針及び他基準・指針において一軸圧縮強度を指標としていることから、その考え方に基づき一軸圧縮強度を確認することとする。

ただし、女川原子力発電所においては、改良地盤の強度特性としてせん断強度  $\tau_0$  及び内部摩擦角  $\phi$  を設定していることから、せん断強度  $\tau_0$  及び内部摩擦角  $\phi$  と一軸圧縮強度の相関関係を使用し、試験から求めた一軸圧縮強度  $q_u$  より確認する。

せん断強度 ( $\tau_0, \phi$ ) と一軸圧縮強度  $q_u$  の相関関係については『(2) せん断強度と一軸圧縮強度の相関について』に示す。

また、防潮堤の改良地盤においては、設置変更許可申請時に物性ばらつき（平均 $- \sigma$  強度）を考慮した地盤の安定性評価も実施していることから、平均 $- \sigma$  強度についても確認する。

引張強度  $\sigma_t$  については、岩石の引張強さ試験により確認することとし、岩石の引張強さ試験から得られる引張強度  $\sigma_t$  が、解析用物性値以上であることを確認する。

また、引張強度  $\sigma_t$  についても、せん断強度同様、平均 $- \sigma$  強度について確認する。

表 3-5 改良地盤（高圧噴射搅拌工法）の品質確認項目及び品質確認試験

品質確認項目		解析用物性値		品質確認試験	基準値
剛性 (共通)	動せん断 弾性係数 $G_0$	1840N/mm <sup>2</sup> (地下水位以浅)		PS 検層 (JGS 1122)	$G_0$ の平均値 $\geq 1150\text{N/mm}^2$ (解析用物性値 (平均) - $\sigma$ )
		1940N/mm <sup>2</sup> (地下水位以深)			$G_0$ の平均値 $\geq 1210\text{N/mm}^2$ (解析用物性値 (平均) - $\sigma$ )
強度 (防潮堤)	せん断強度 ( $\tau_0$ , $\phi$ )	$\tau_0$	1.39N/mm <sup>2</sup>	一軸圧縮試験 (JIS A 1216)	$q_u$ の平均値 $\geq 4.1\text{N/mm}^2$ (解析用物性値 $\tau_0 = 1.39\text{N/mm}^2$ に 相当する一軸圧縮強度) * : $q_u$ (平均 - $\sigma$ ) $\geq 4.1\text{N/mm}^2$ (解 析用物性値 (平均) - $\sigma = 1.38\text{N/mm}^2$ に相当する一軸圧縮強度) も確 認
		$\phi$	22.1°		
	引張強度 $\sigma_t$	0.65N/mm <sup>2</sup>		岩石の引張強さ 試験方法 (JIS M 0303)	$\sigma_t$ の平均値 $\geq 0.65\text{N/mm}^2$ (解析用物性値) * : $\sigma_t$ (平均 - $\sigma$ ) $\geq 0.45\text{N/mm}^2$ (解 析用物性値 (平均) - $\sigma$ ) も確 認

## (2) せん断強度と一軸圧縮強度の相関について

試験施工により得られた地盤改良体の三軸圧縮試験から算出したせん断強度 ( $\tau_0$ ,  $\phi$ ) と、一軸圧縮強度  $q_u$  の関係を図 3-1 に示す。図 3-1(a) より、せん断強度  $\tau_0$  と一軸圧縮強度  $q_u$  は下式の関係となる。

$$\tau_0 = 0.343 \times q_u$$

また、図 3-1(b) より内部摩擦角  $\phi$  は一軸圧縮強度  $q_u$  に依存しないことを確認している。

以上より、改良地盤のせん断強度は、せん断強度  $\tau_0$  に相当する一軸圧縮強度  $q_u$  が、基準値を満足することを確認する。

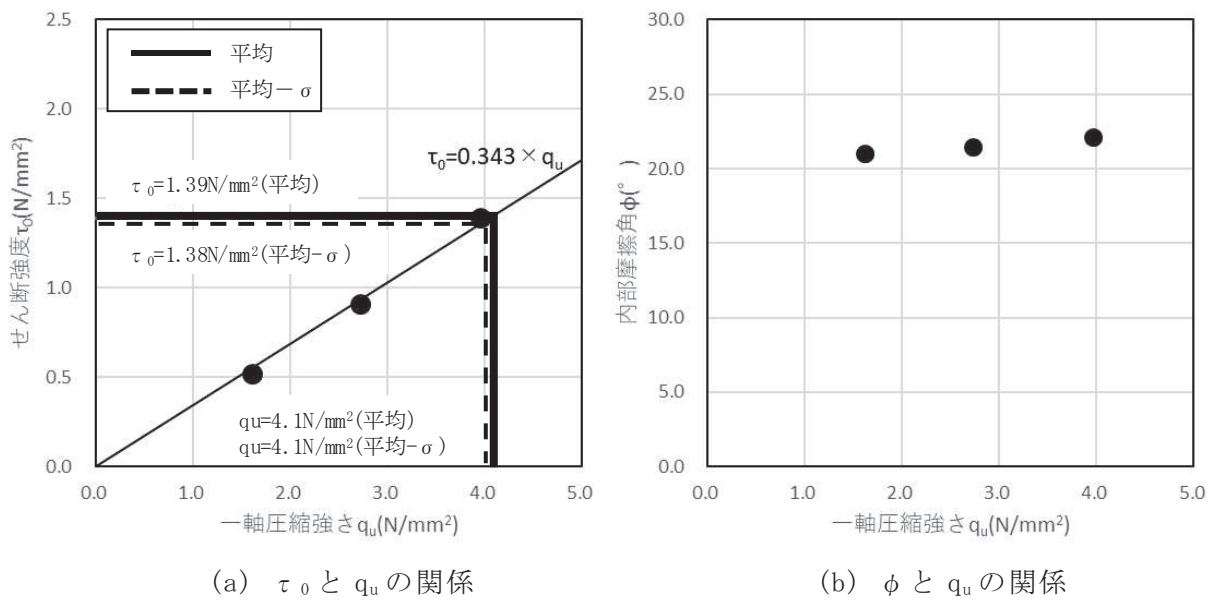


図 3-1 せん断強度 ( $\tau_0$ ,  $\phi$ ) と一軸圧縮強度  $q_u$  の相関

### (3) 基準値を下回った場合の対応

品質確認試験の中で、設定した基準値を下回った場合の対応として、基準値を下回った原因の考察（局所的な地盤条件等）を行った上で、必要に応じて補修を行う。

(参考資料14) 液状化強度試験の詳細について

1. 盛土・旧表土のボーリング柱状図・コア写真

表 1-1 盛土・旧表土のボーリング一覧

Br孔名	盛土	旧表土	液状化強度試験との対応
PB-1	○	-	-
PB-2	○	-	-
PB-3	○	-	-
PB-4	○	-	-
25BW-1	○	-	-
25BW-4	○	-	-
25BW-5	○	○	-
25BW-6	○	○	-
25BW-7	○	-	-
25BW-8	○	○	-
25BW-9	○	○	-
25BW-10	○	○	-
25BW-11	○	○	-
25BW-12	○	○	-
25BW-13	○	○	-
25BW-14	○	○	-
25BW-15	○	-	-
25BW-16	○	-	-
25BW-17	○	-	-
25BW-18	○	-	-
25BW-19	○	-	-
25BW-20	○	-	-
25BW-21	○	-	-
25BW-22	○	-	-
25BW-23	○	-	-
25BW-24	○	-	-

Br孔名	盛土	旧表土	液状化強度試験との対応
28QB-1	○	○	A-2 (旧表土)
28QB-2	○	○	A-3 (旧表土)
28QB-3	○	○	-
28QB-4-1	○	○	A-4 (旧表土)
28QB-4	○	○	-
28QB-5	○	○	B-1 (盛土)
28QB-5-1	○	○	A-5 (旧表土)
28QB-6	○	○	A-6 (旧表土)
28QB-7	○	○	A-7 (旧表土)
28QB-8	○	○	B-2 (盛土)
P-3	○	○	-
P-6	○	○	-
SP-2	○	○	-
Fs-1	-	○	-
Fs-2	-	○	A-1 (旧表土)
Fs-3	-	○	-
D-1	○	○	-
No.1	○	○	-
No.2	○	○	-
23B-1	○	○	-
23B-4	○	○	-
23B-5	○	○	-
23B-6	○	○	-
23B-7	○	○	-
23B-9	○	○	-

※ 設置変更許可申請以降に実施した  
盛土の液状化強度試験箇所のB-3  
～B-8については、G.L.付近から  
試料を採取したため、試験位置に  
対応するボーリングはない。

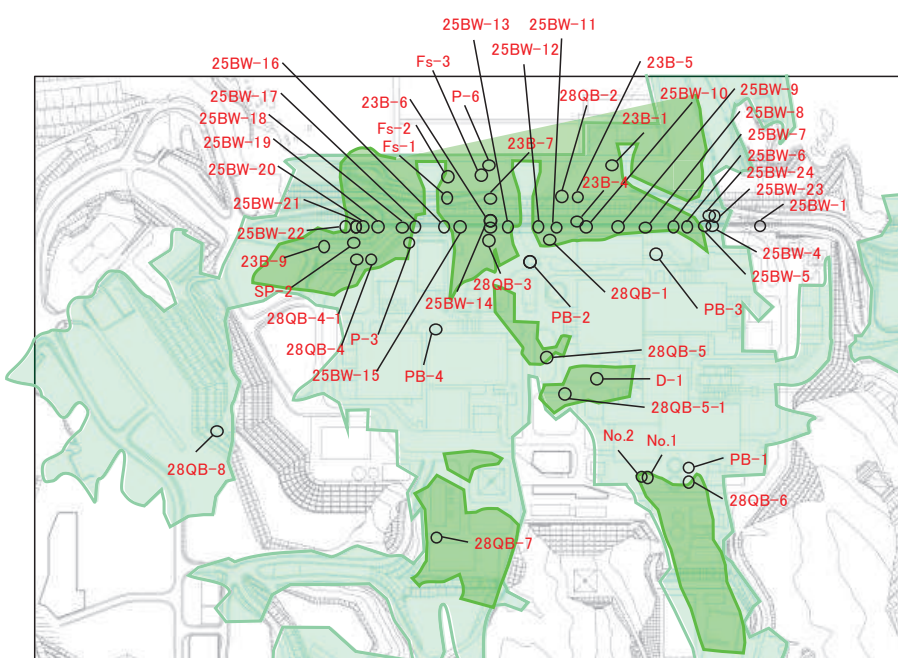


図 1-1 盛土・旧表土のボーリング位置図

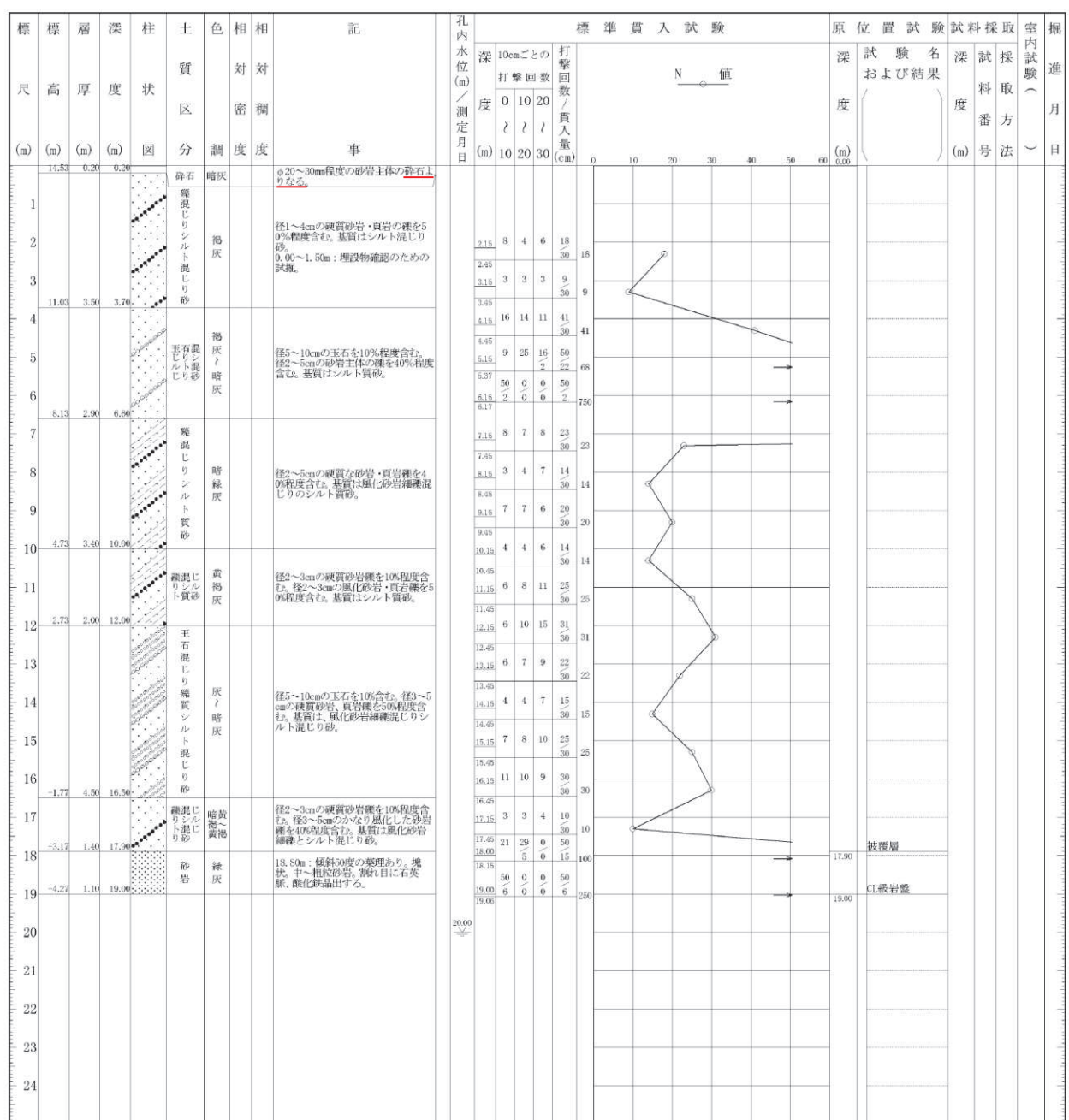


図 1-2(1) ポーリング柱状図 (PB-1) (盛土 : 深度 0~17.90m)



図 1-2(2) ボーリングコア写真 (PB-1) (盛土 : 深度 0~17. 90m)

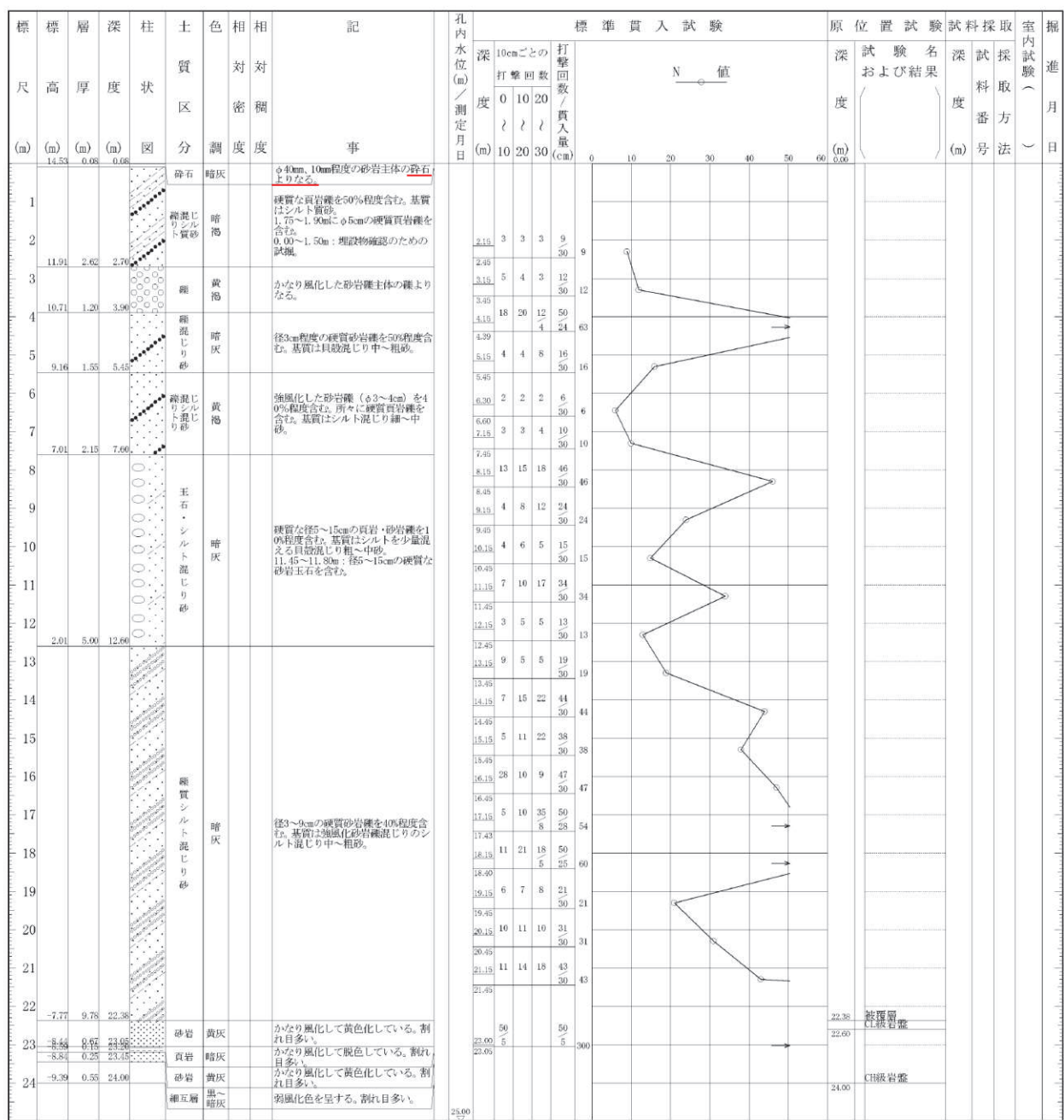


図 1-3(1) ポーリング柱状図 (PB-2) (盛土: 深度 0~22.38m)



図 1-3(2) ボーリングコア写真 (PB-2) (盛土 : 深度 0~22.38m)

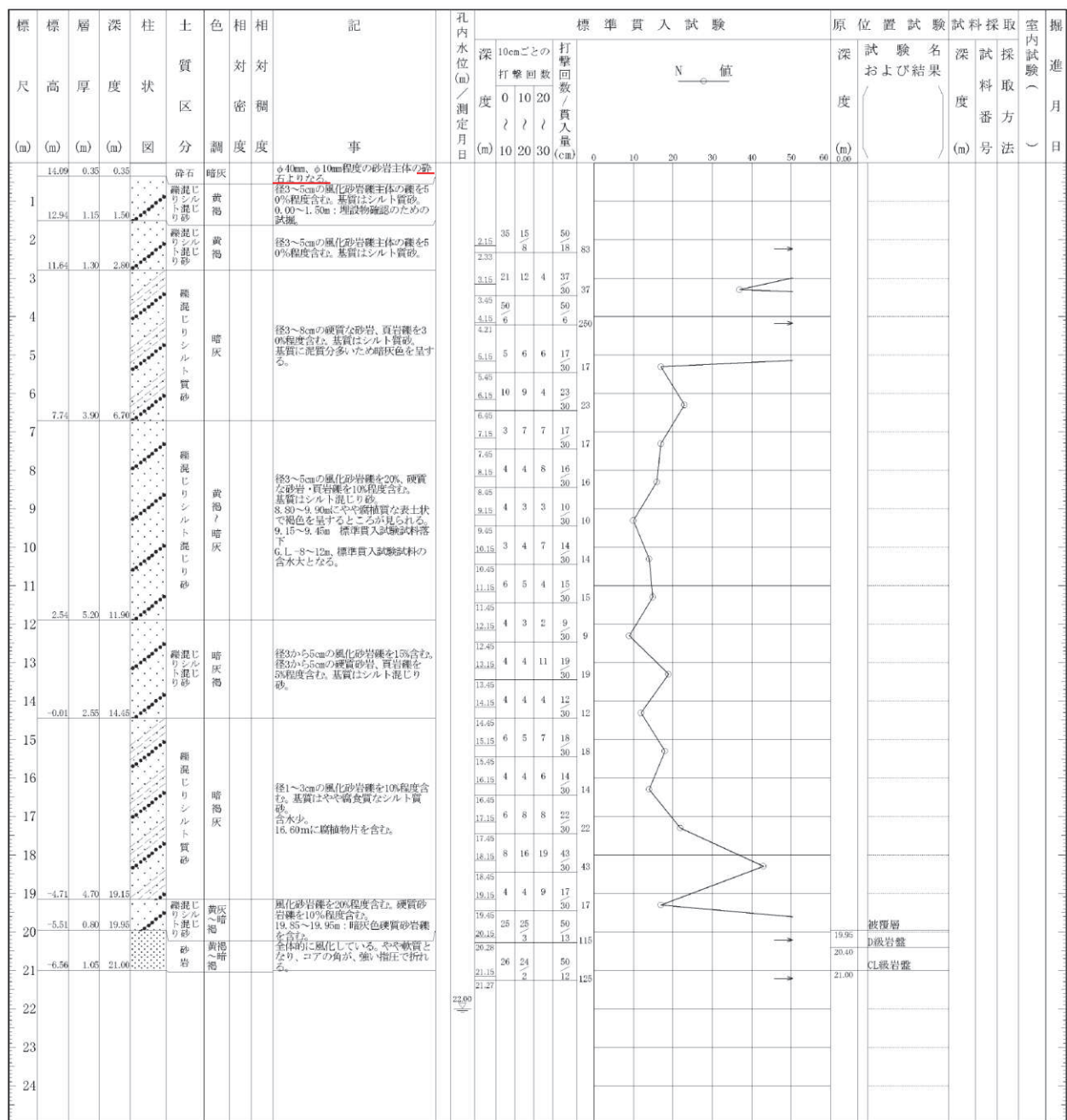


図 1-4(1) ボーリング柱状図 (PB-3) (盛土:深度 0~19.95m)



図 1-4(2) ボーリングコア写真 (PB-3) (盛土 : 深度 0~19.95m)

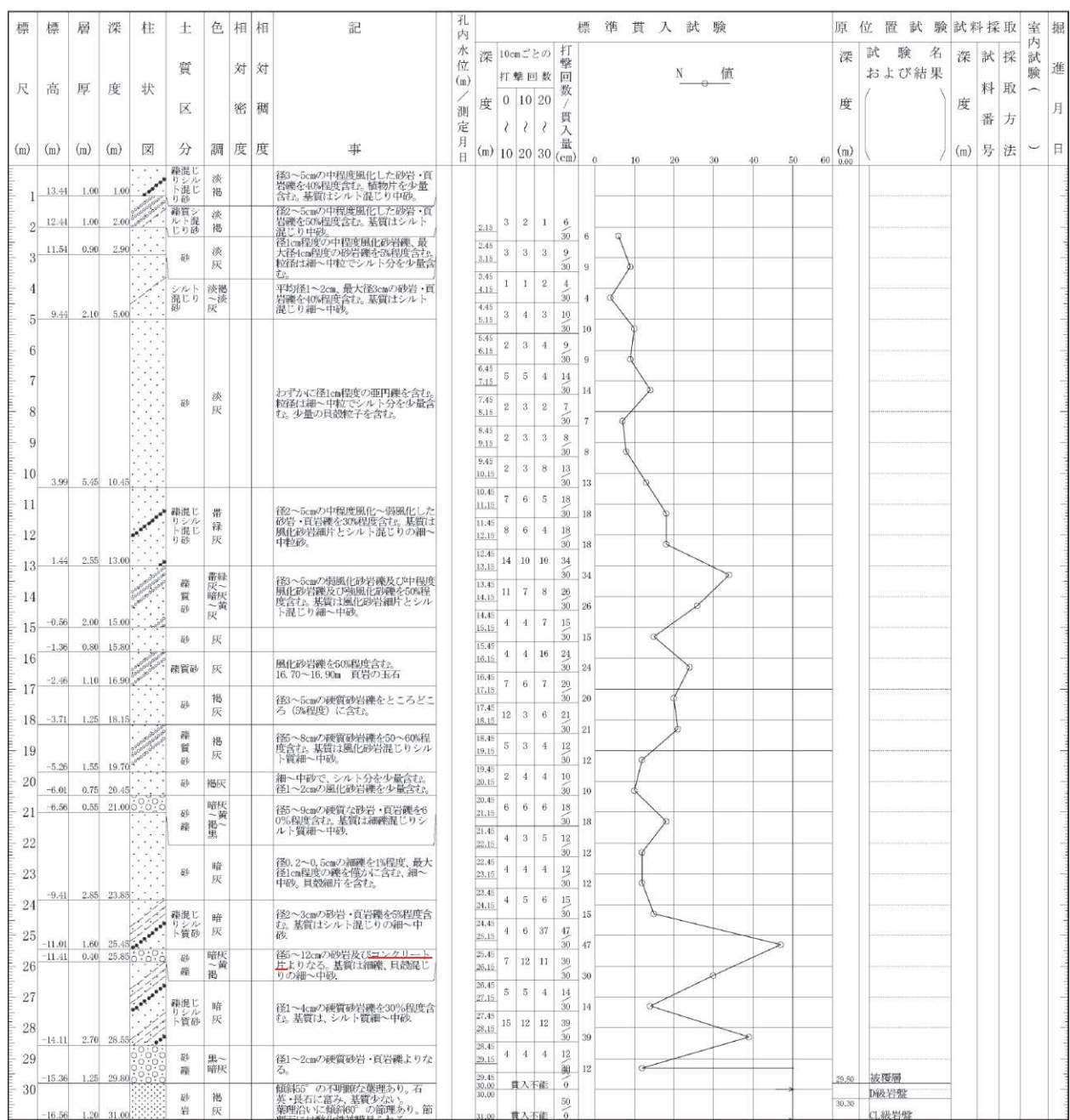


図 1-5(1) ボーリング柱状図 (PB-4) (盛土 : 深度 0~29.80m)



図 1-5(2) ポーリングコア写真 (PB-4) (盛土:深度 0~29.80m)

図 1-6(1) ボーリング柱状図 (25BW-1) (盛土: 深度 0~4.90m)

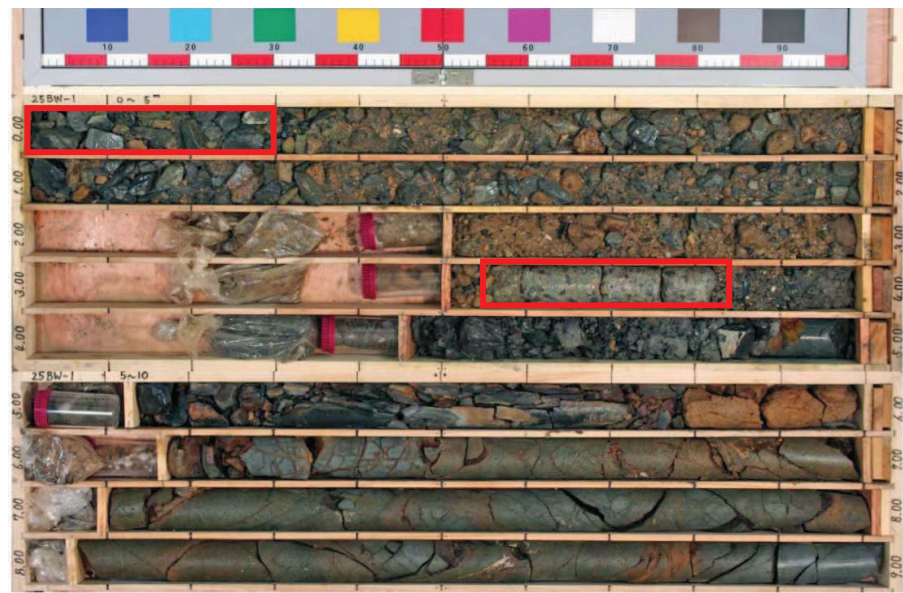


図 1-6(2) ボーリングコア写真 (25BW-1) (盛土 : 深度 0~4. 90m)

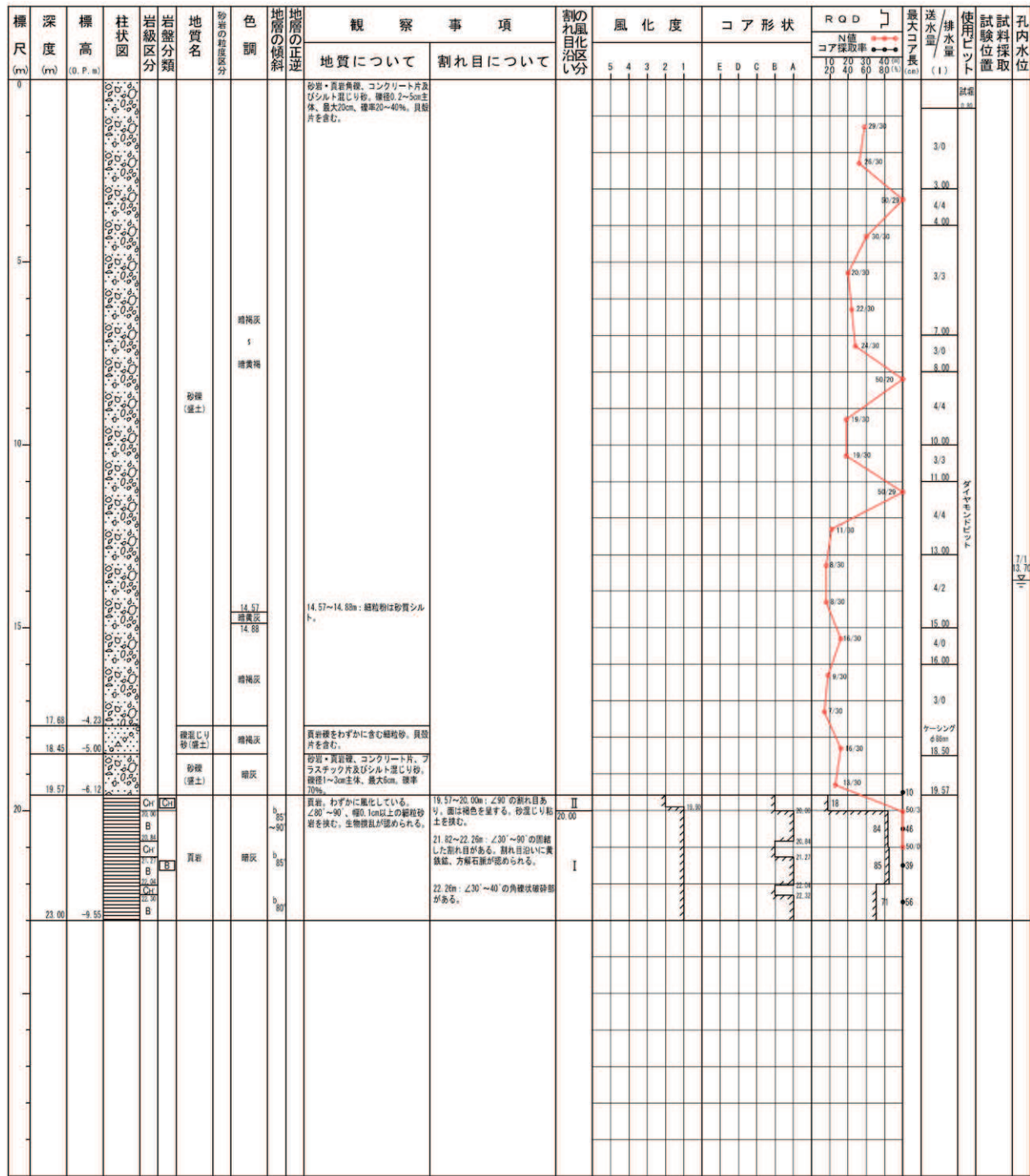


図 1-7(1) ボーリング柱状図 (25BW-4) (盛土: 深度 0~19.57m)



図 1-7(1) ボーリングコア写真 (25BW-4) (盛土: 深度 0~19.57m)

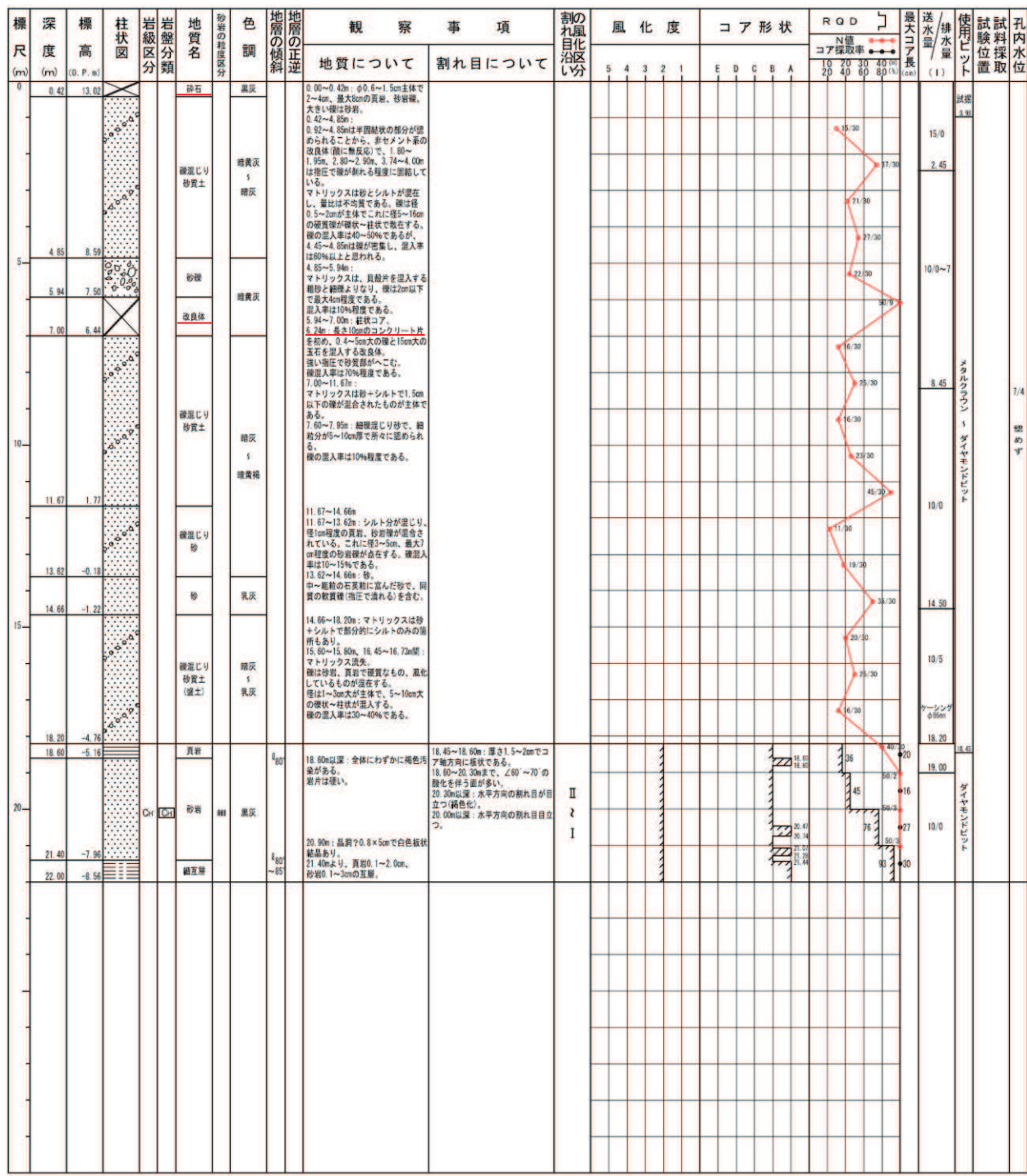


図 1-8(1) ボーリング柱状図 (25BW-5) (盛土:深度 0~18.20m)

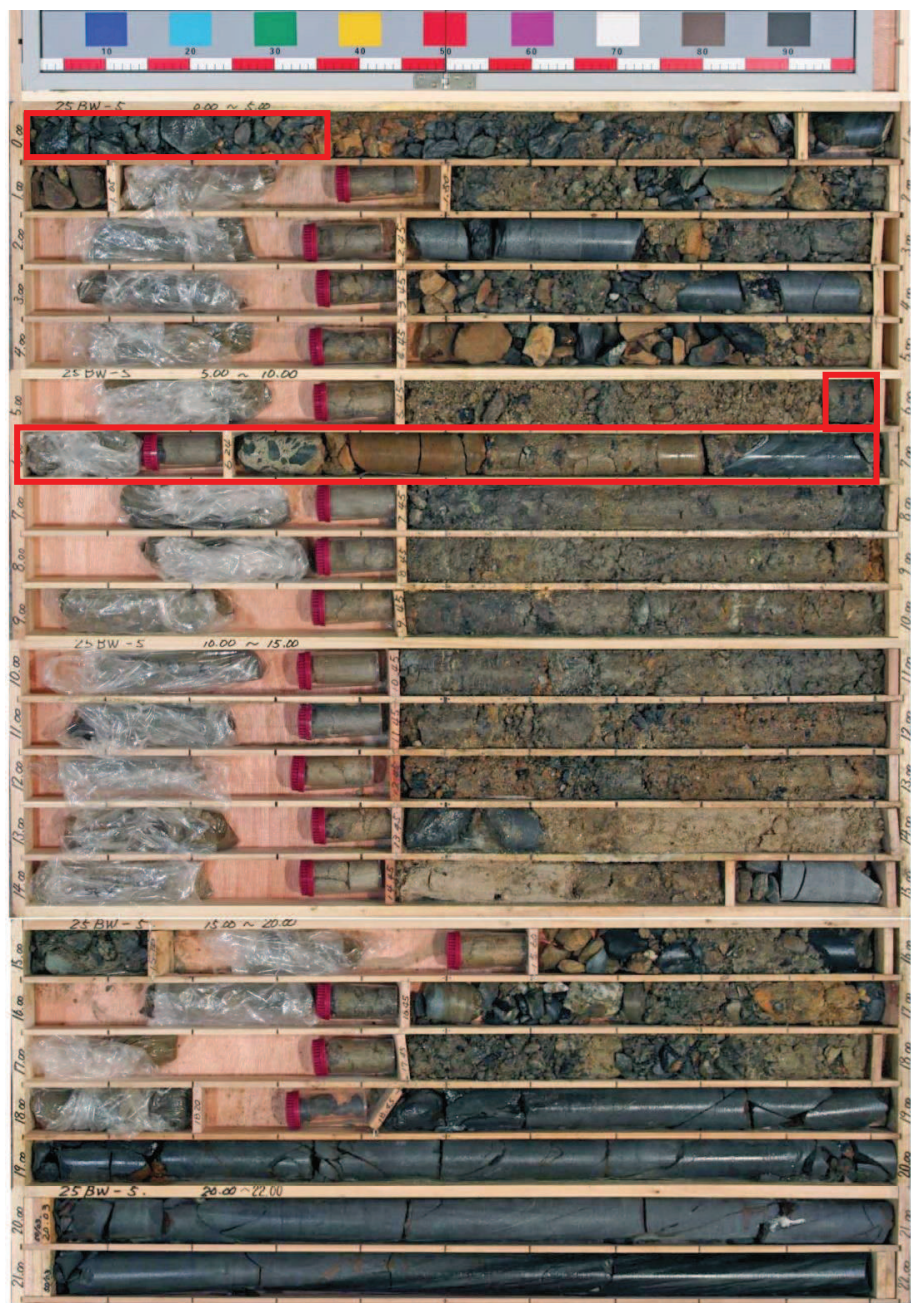


図 1-8(2) ポーリングコア写真 (25BW-5) (盛土:深度 0~18.20m)

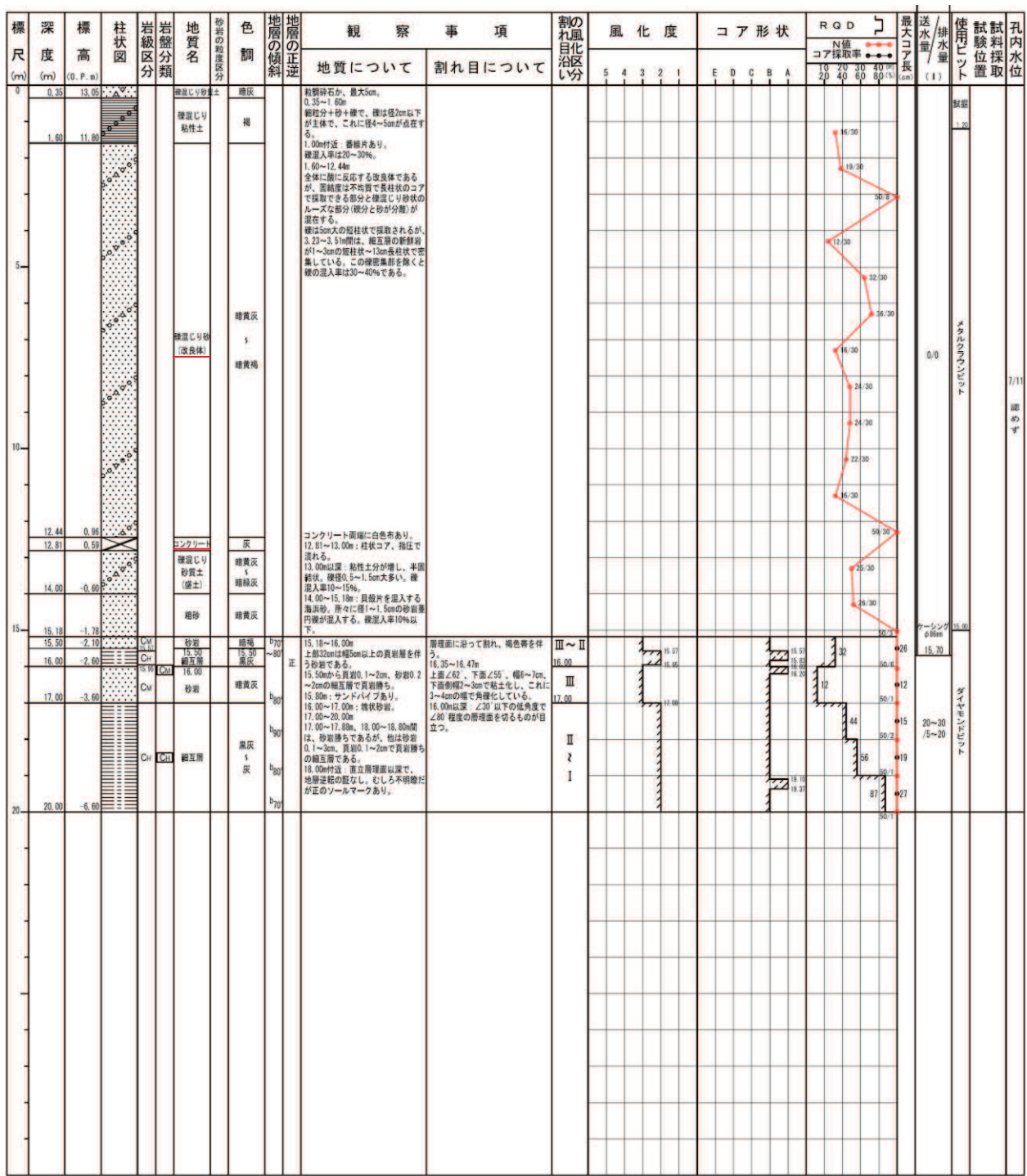


図 1-9(1) ボーリング柱状図 (25BW-6) (盛土: 深度 0~14.00m, 旧表土: 深度 14.00~15.18m)

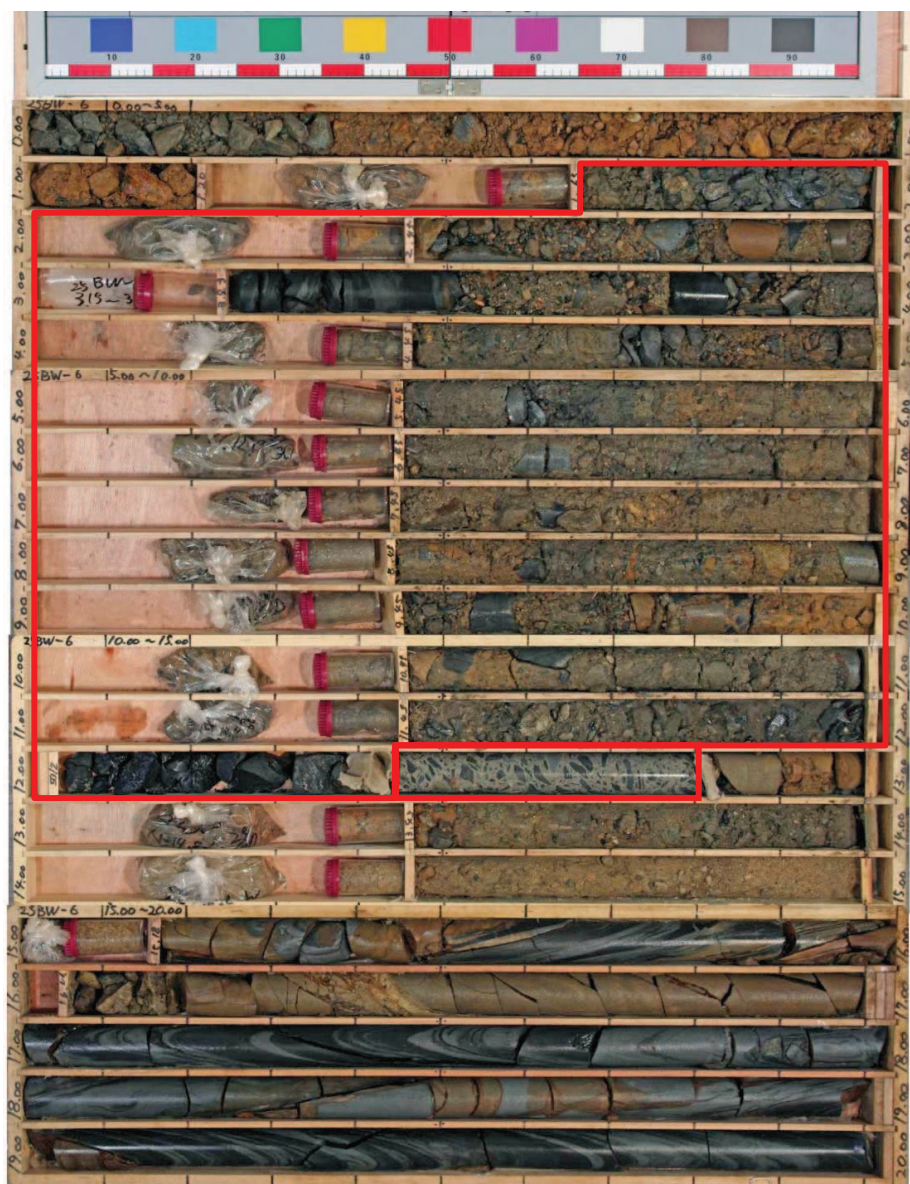


図 1-9(2) ポーリングコア写真 (25BW-6)

(盛土 : 深度 0~14.00m, 旧表土 : 深度 14.00~15.18m)

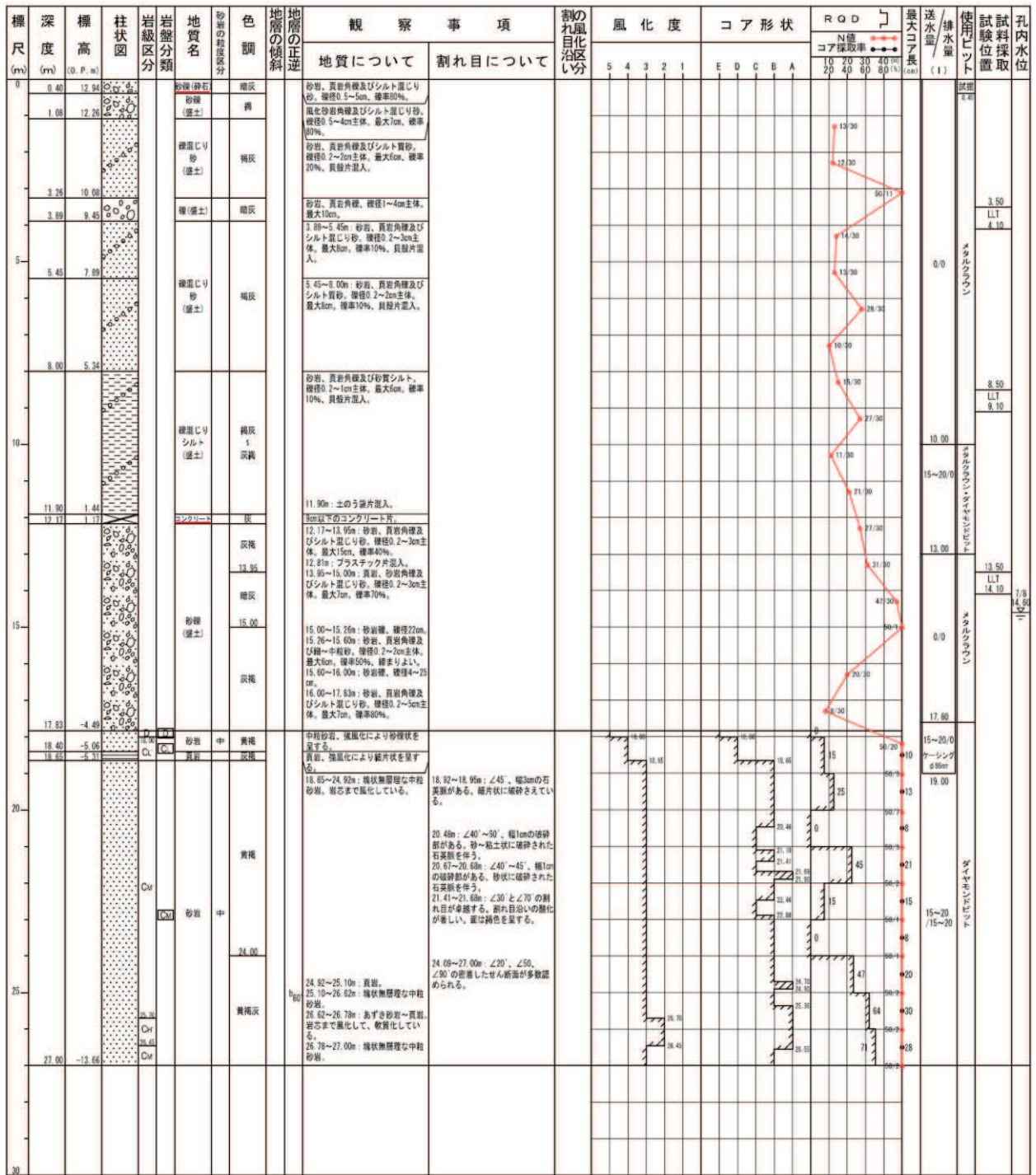


図 1-10(1) ボーリング柱状図 (25BW-7) (盛土 : 深度 0~17.83m)



図 1-10(2) ポーリングコア写真 (25BW-7) (盛土 : 深度 0~17.83m)

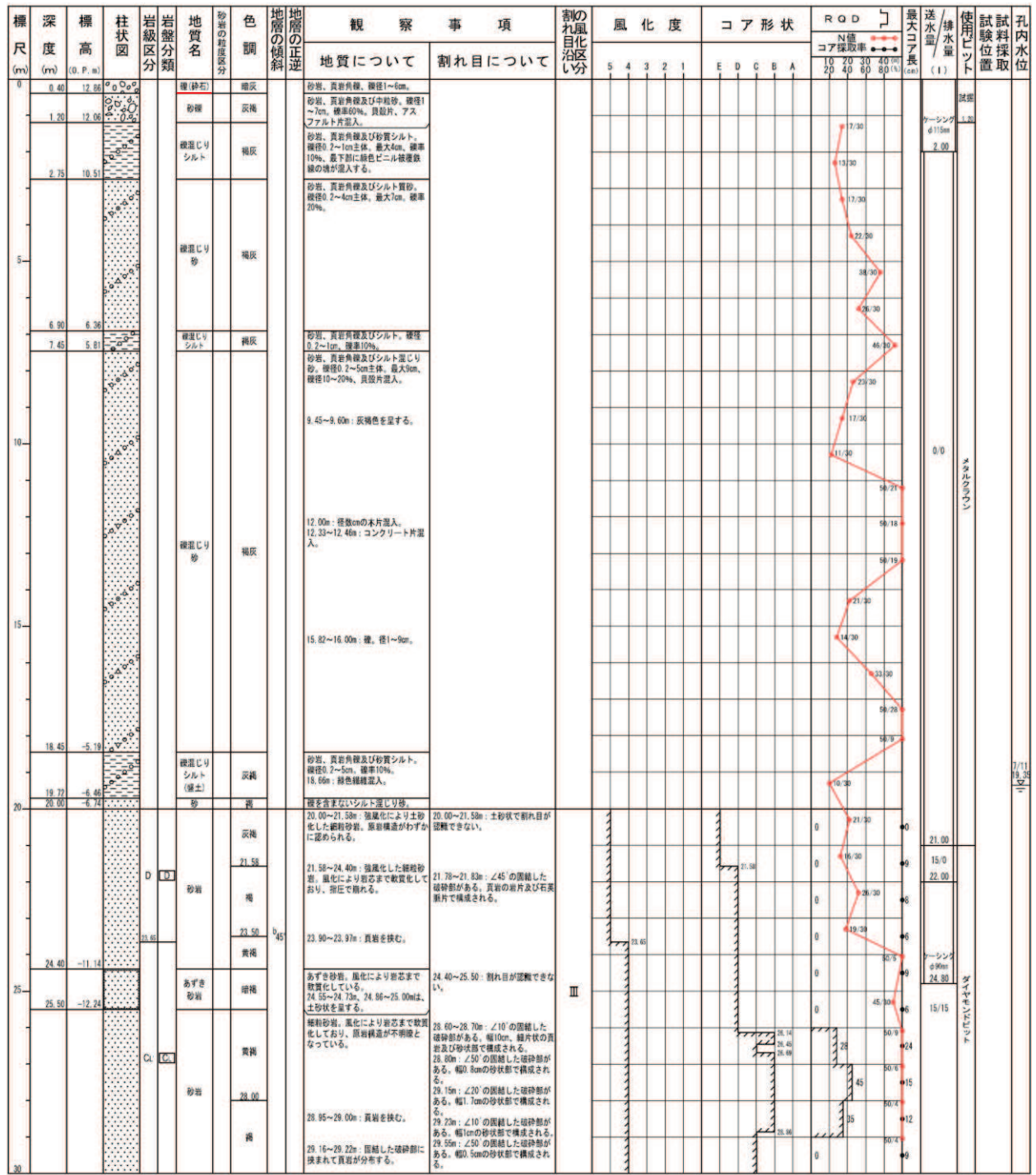


図 1-11(1) ポーリング柱状図 (25BW-8) (盛土: 深度 0~19.72m, 旧表土: 深度 19.72~20.00m)



図 1-11(2) ボーリングコア写真 (25BW-8)

(盛土:深度 0~19.72m, 旧表土:深度 19.72~20.00m)

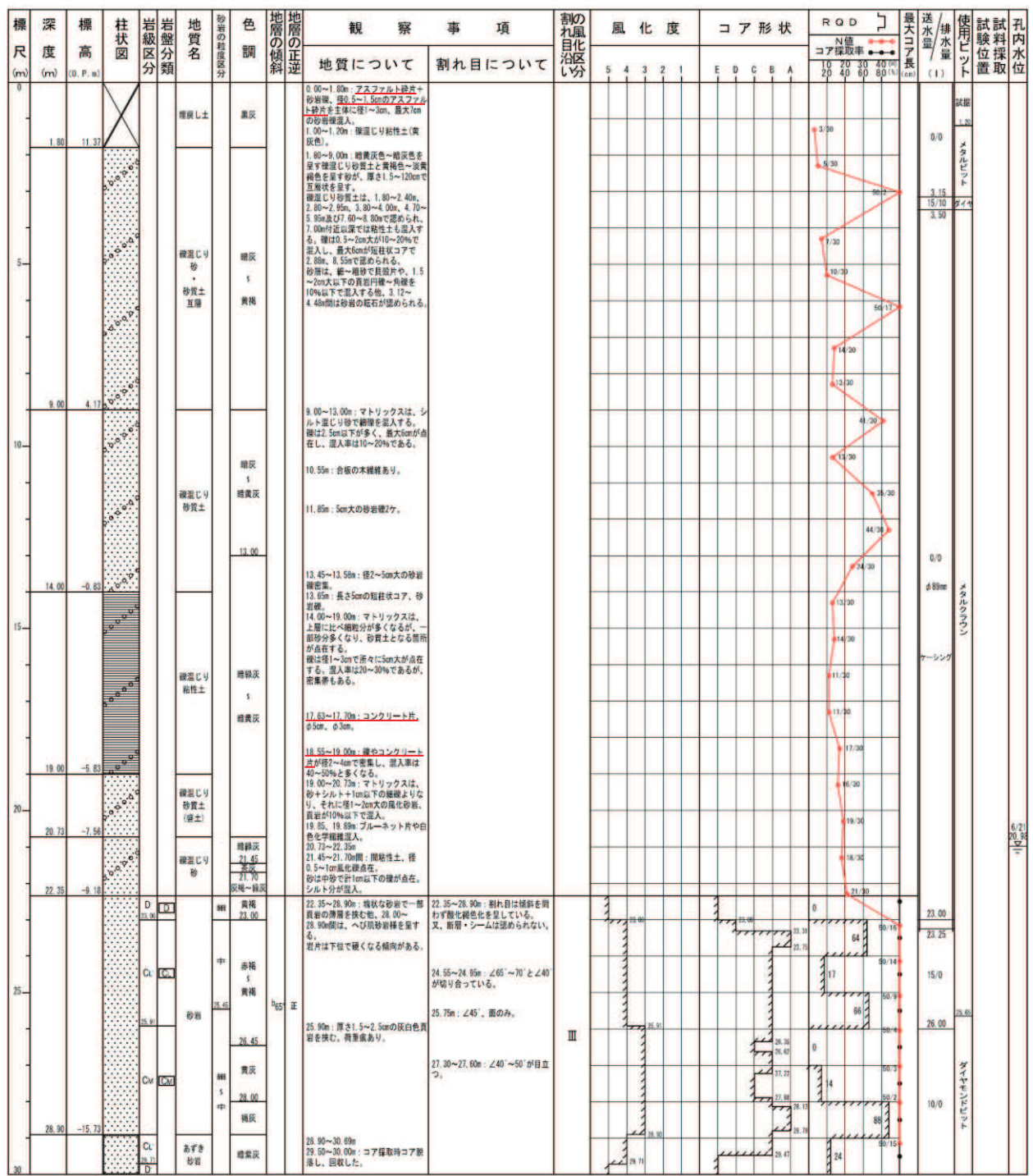


図 1-12(1) ボーリング柱状図 (25BW-9) (盛土: 深度 0~20.73m, 旧表土: 深度 20.73~22.35m)

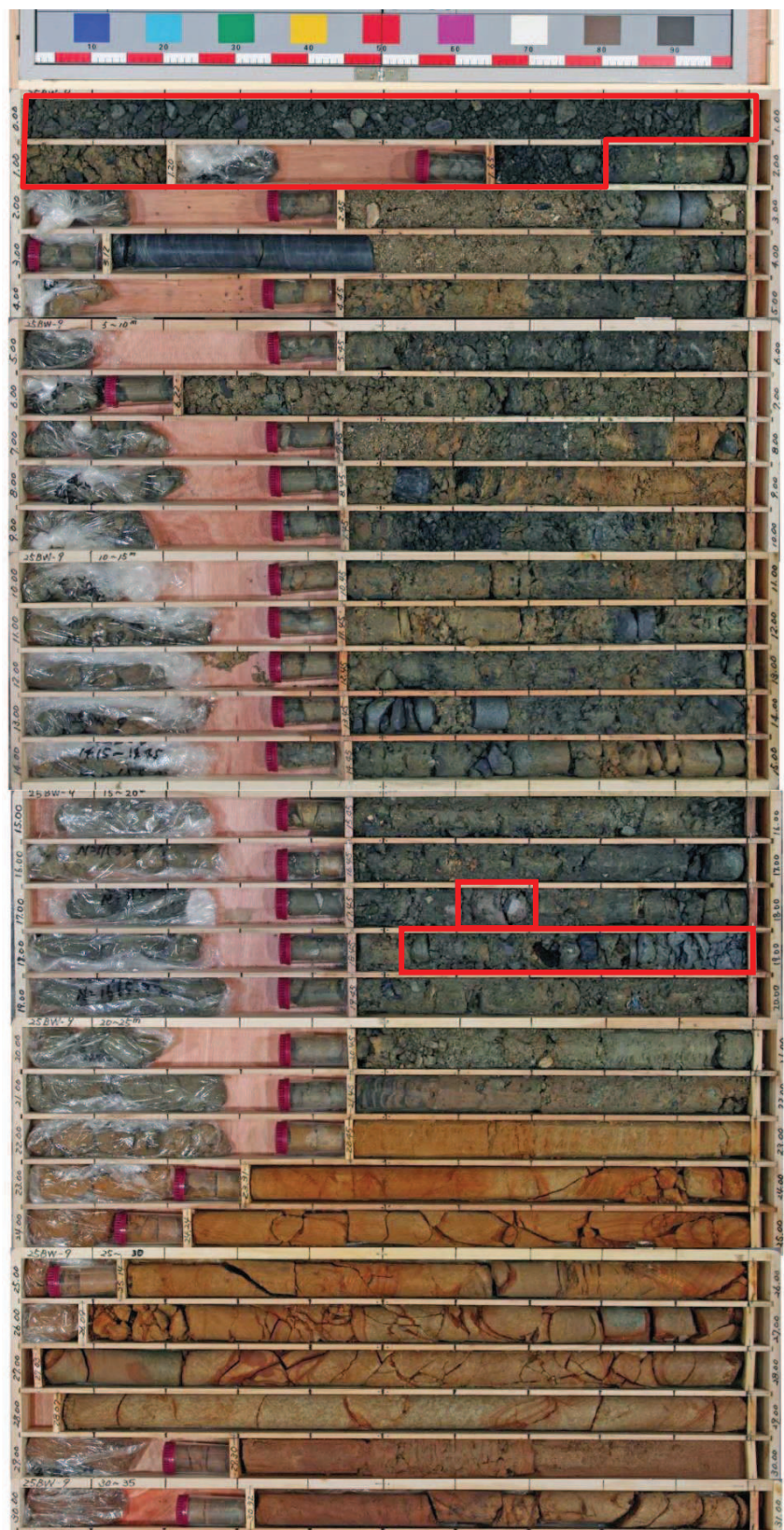


図 1-12(2) ポーリングコア写真 (25BW-9)  
(盛土 : 深度 0~20.73m, 旧表土 : 深度 20.73~22.35m)

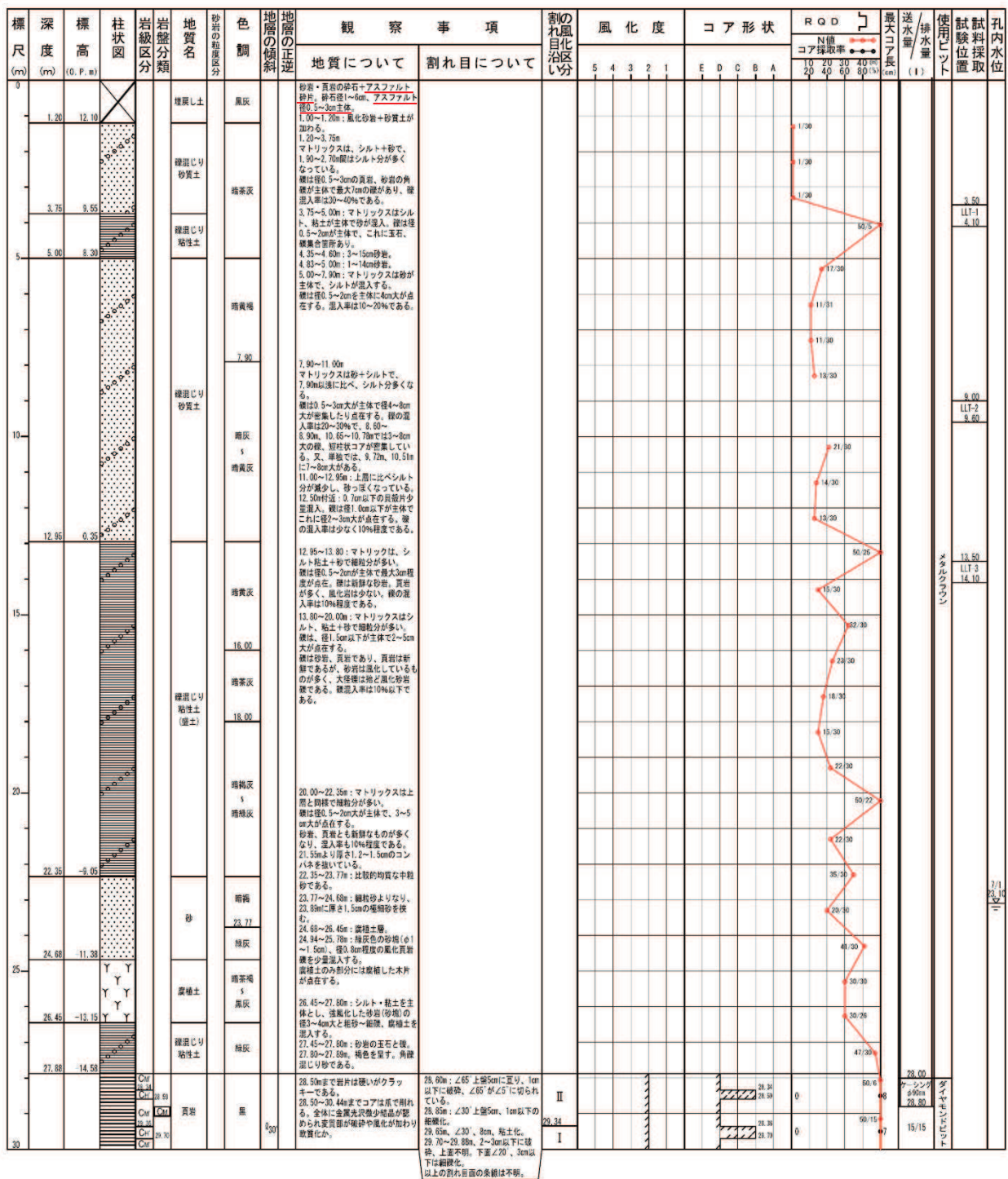


図 1-13(1) ボーリング柱状図 (25BW-10)

(盛土:深度 0~22.35m, 旧表土:深度 22.35~27.88m)

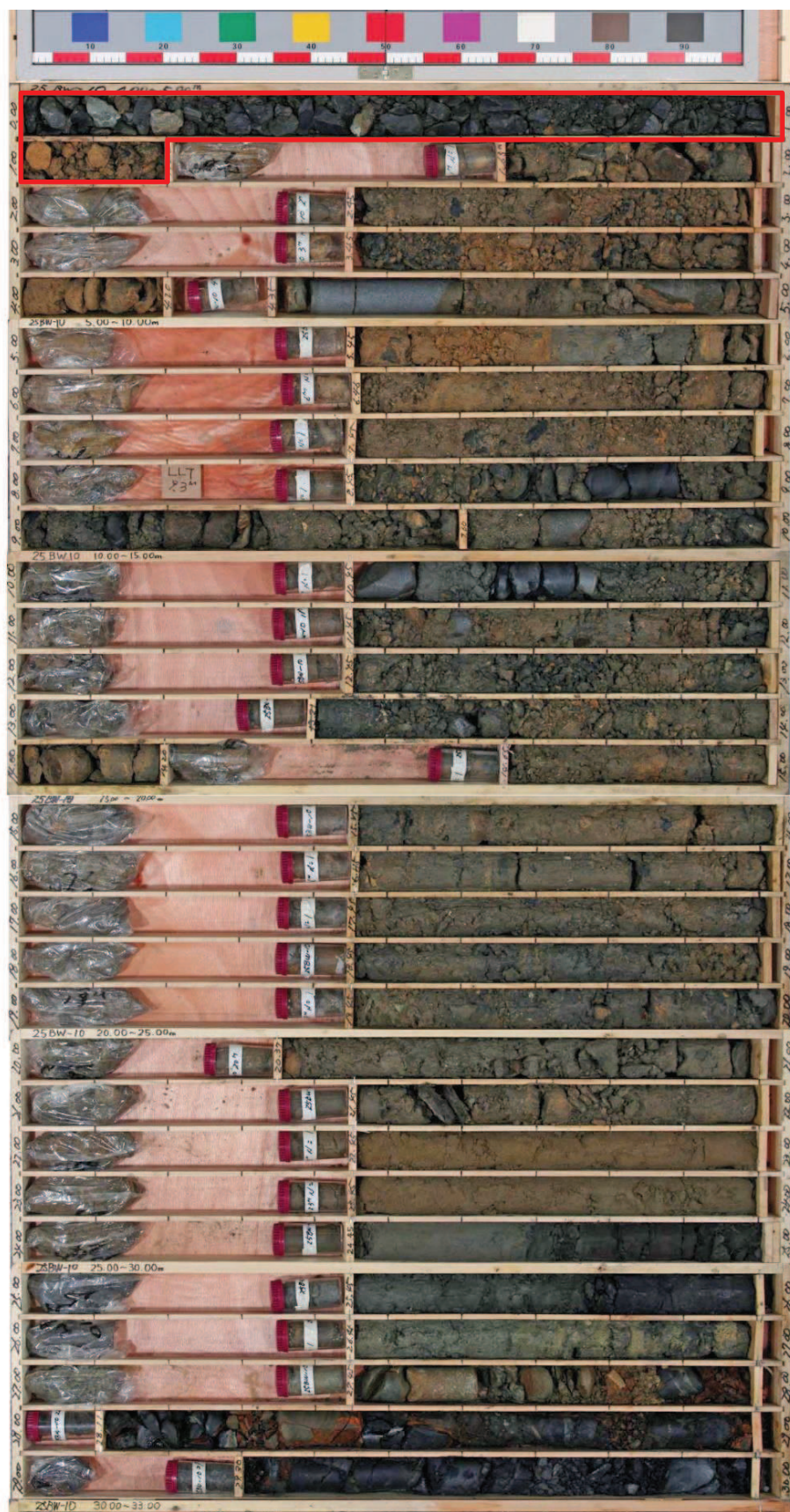


図 1-13(2) ボーリングコア写真 (25BW-10)  
(盛土 : 深度 0~22.35m, 旧表土 : 深度 22.35~27.88m)

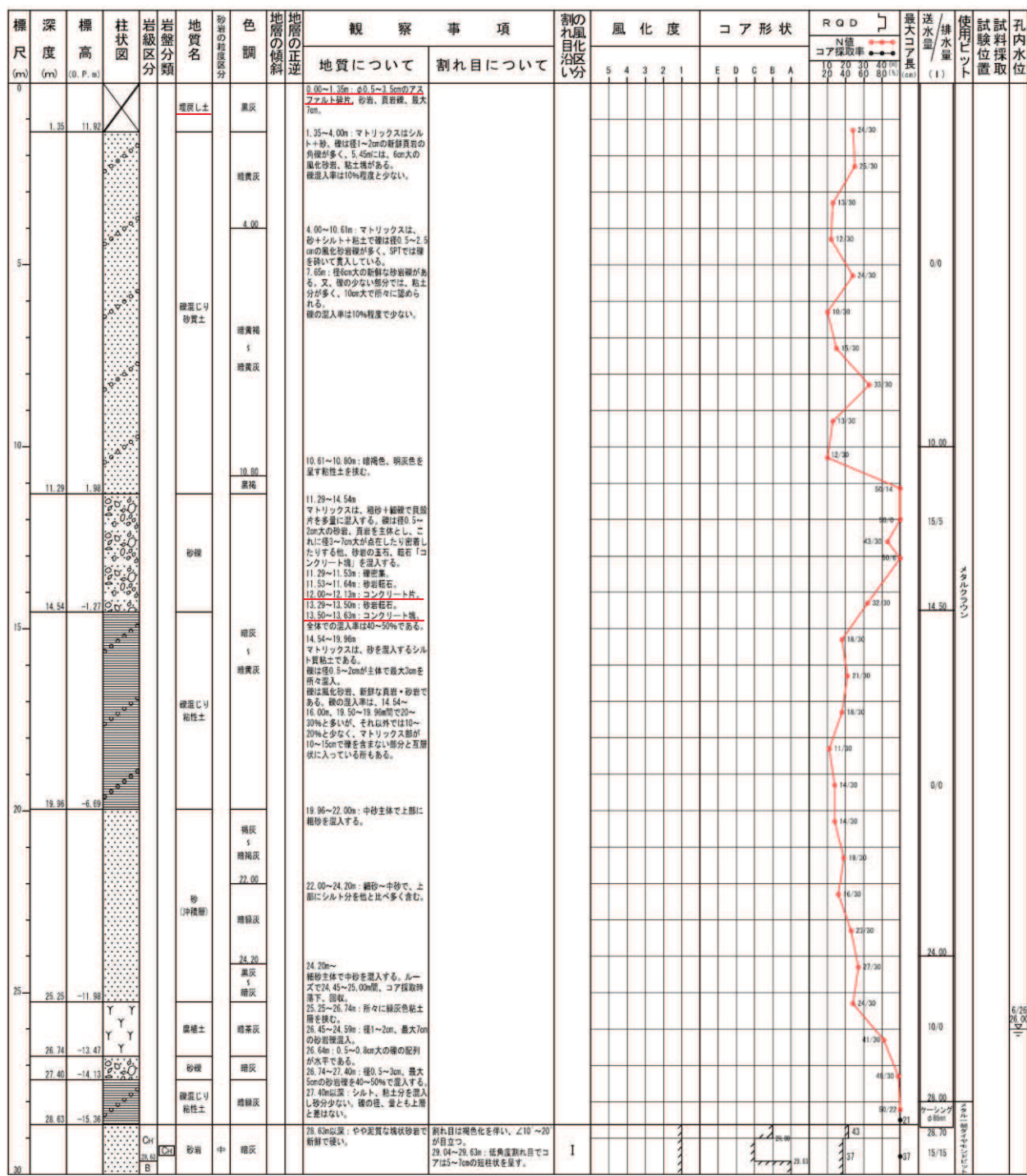


図 1-14(1) ボーリング柱状図 (25BW-11)

(盛土:深度 0~19.96m, 旧表土:深度 19.96~28.63m)

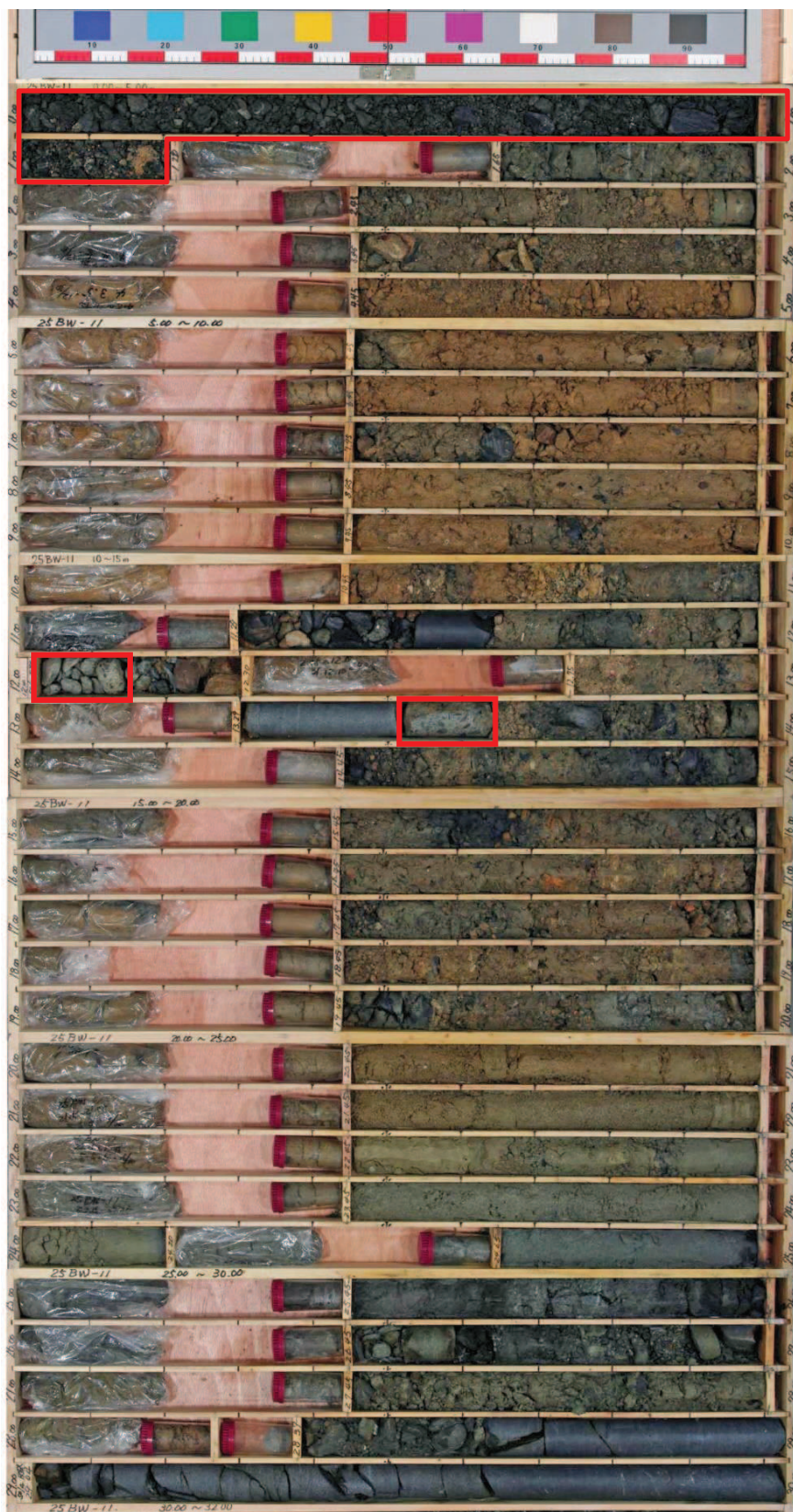


図 1-14(2) ポーリングコア写真 (25BW-11)

(盛土 : 深度 0~19.96m, 旧表土 : 深度 19.96~28.63m)

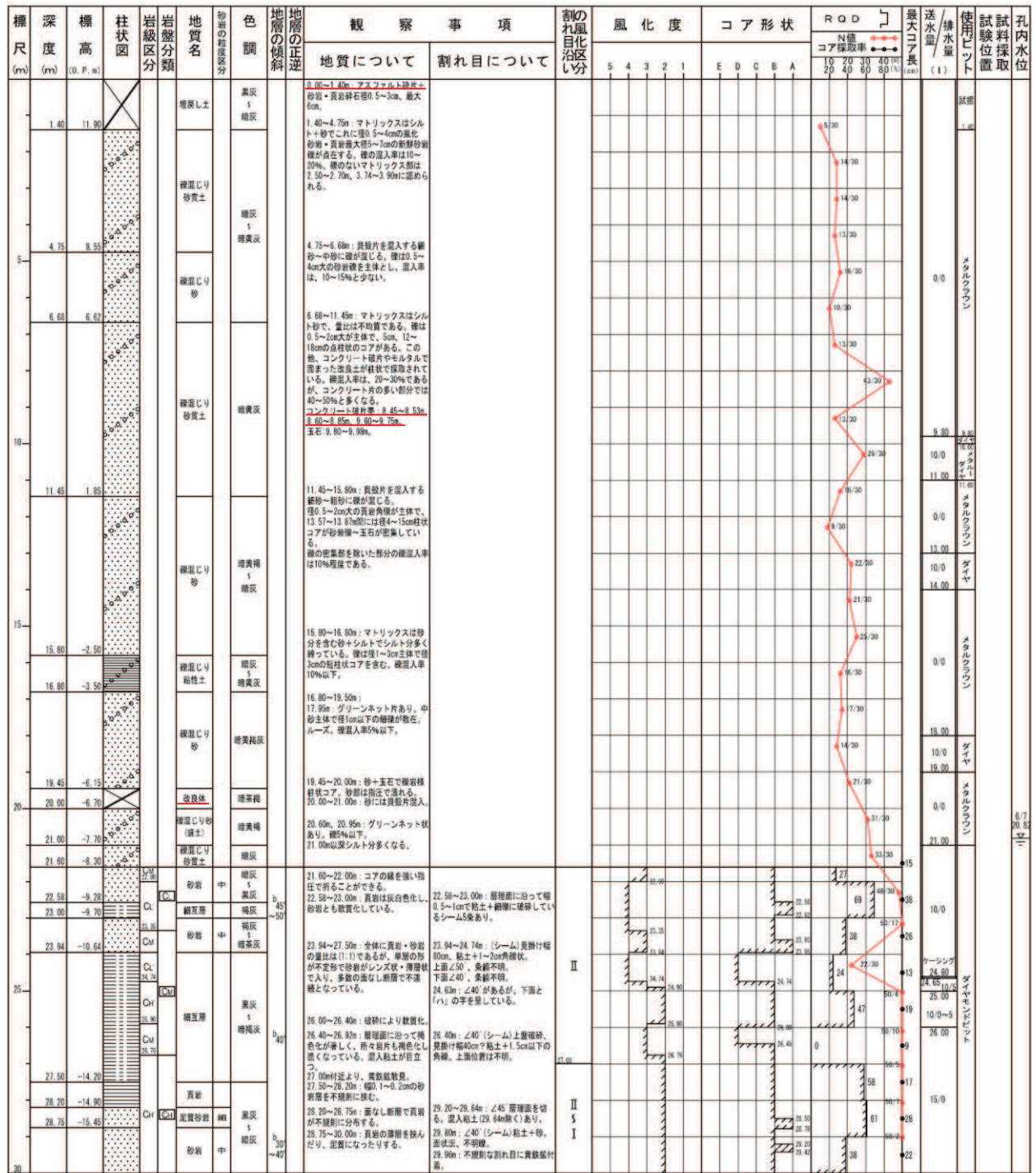


図 1-15(1) ボーリング柱状図 (25BW-12)

(盛土: 深度 0~21.00m, 旧表土: 深度 21.00~21.60m)



図 1-15(2) ポーリングコア写真 (25BW-12)

(盛土 : 深度 0~21.00m, 旧表土 : 深度 21.00~21.60m)

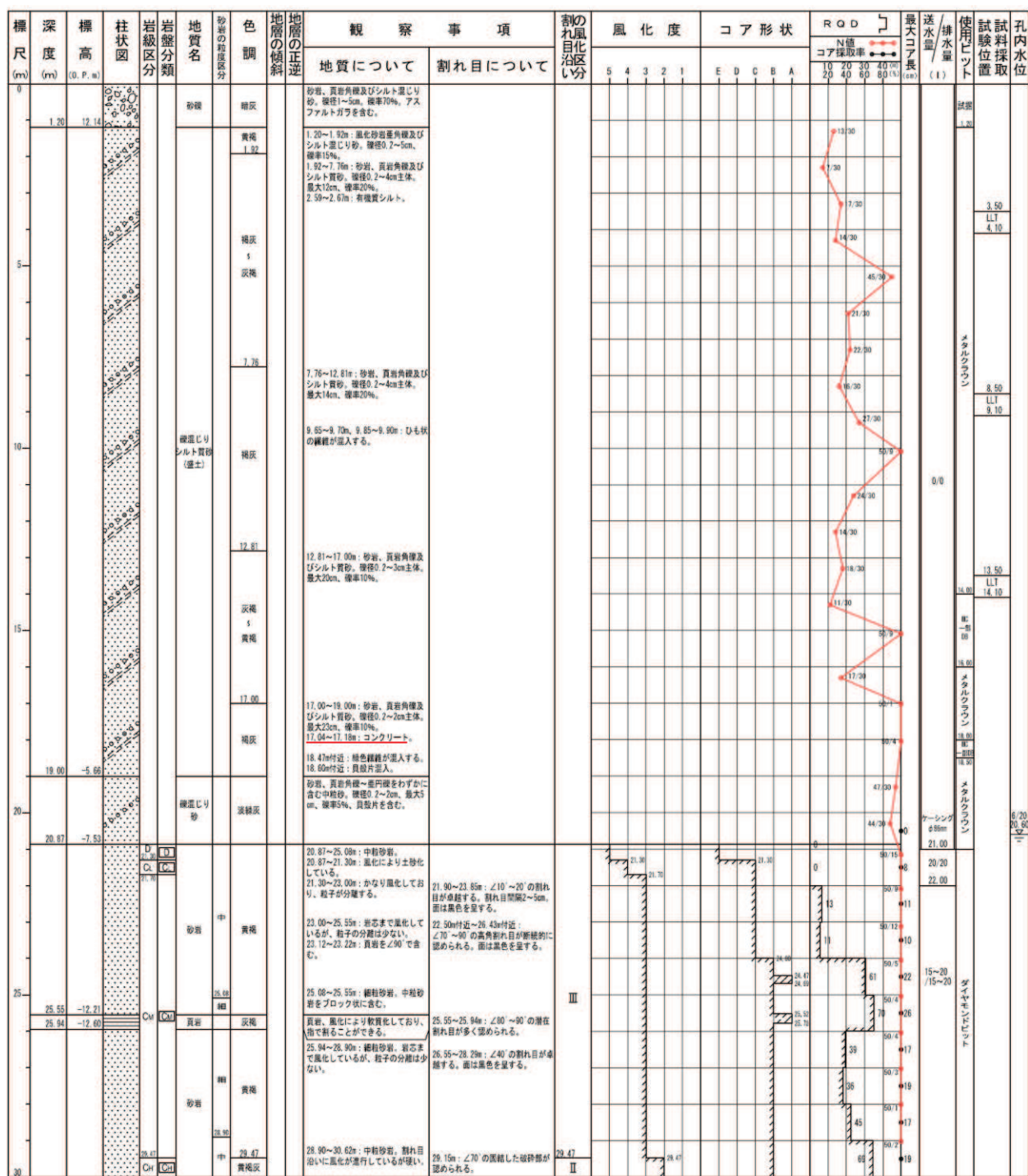


図 1-16(1) ボーリング柱状図 (25BW-13)

(盛土:深度 0~19.00m, 旧表土:深度 19.00~20.87m)



図 1-16(2) ポーリングコア写真 (25BW-13)  
(盛土 : 深度 0~19.00m, 旧表土 : 深度 19.00~20.87m)

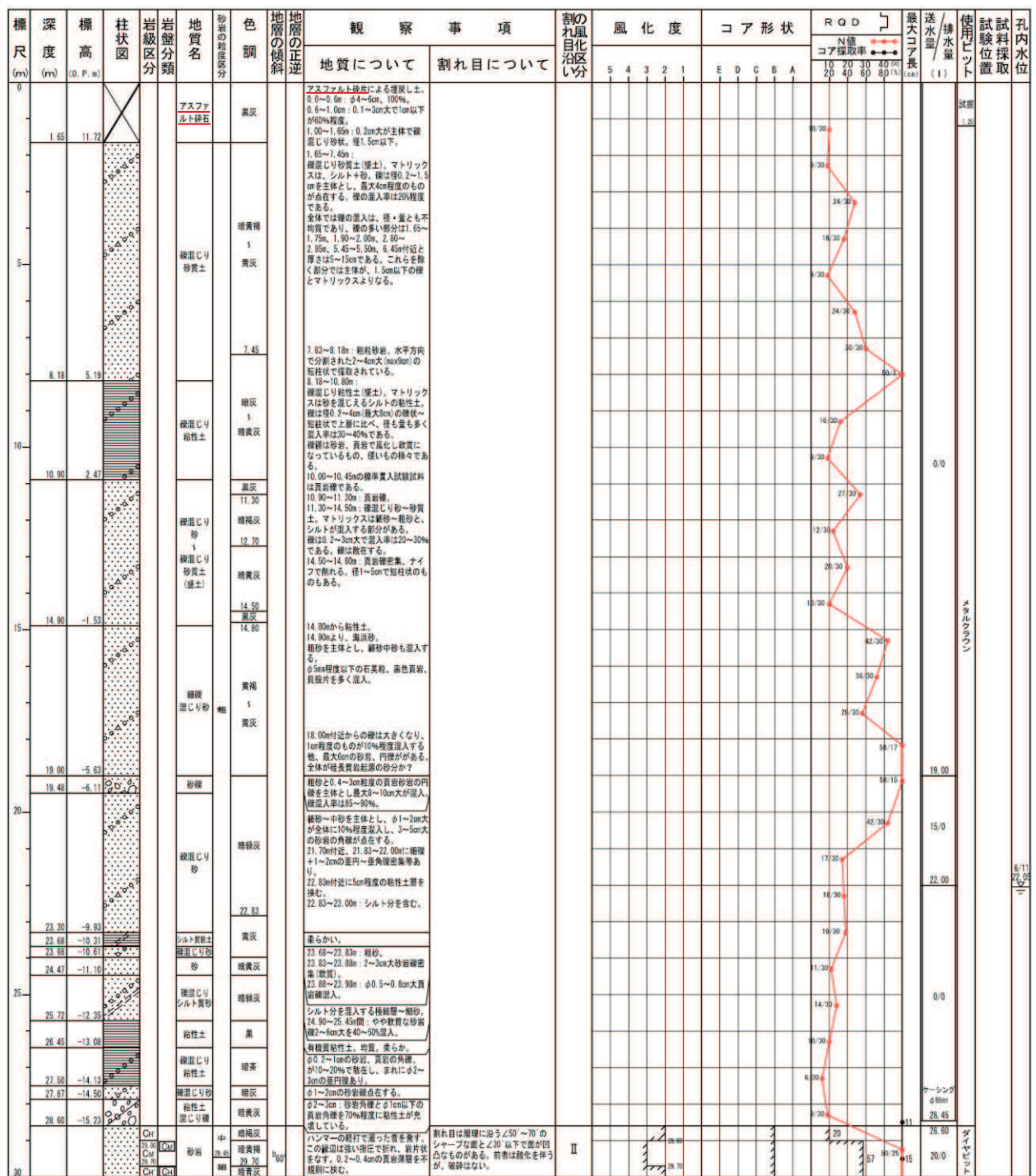


図 1-17(1) ボーリング柱状図 (25BW-14)

(盛土: 深度 0~14.90m, 旧表土: 深度 14.90~28.60m)

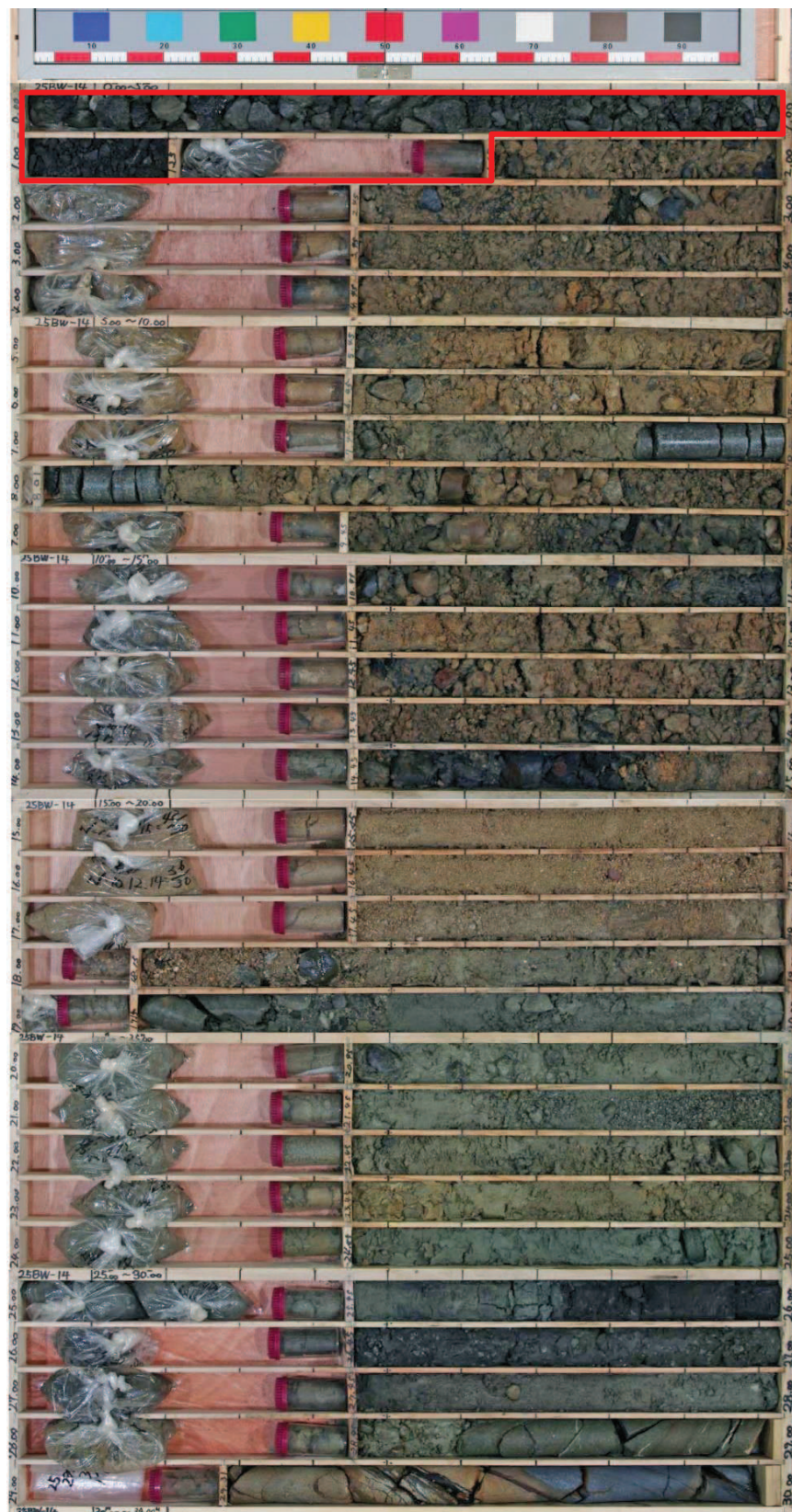


図 1-17(2) ポーリングコア写真 (25BW-14)  
(盛土 : 深度 0~14.90m, 旧表土 : 深度 14.90~28.60m)

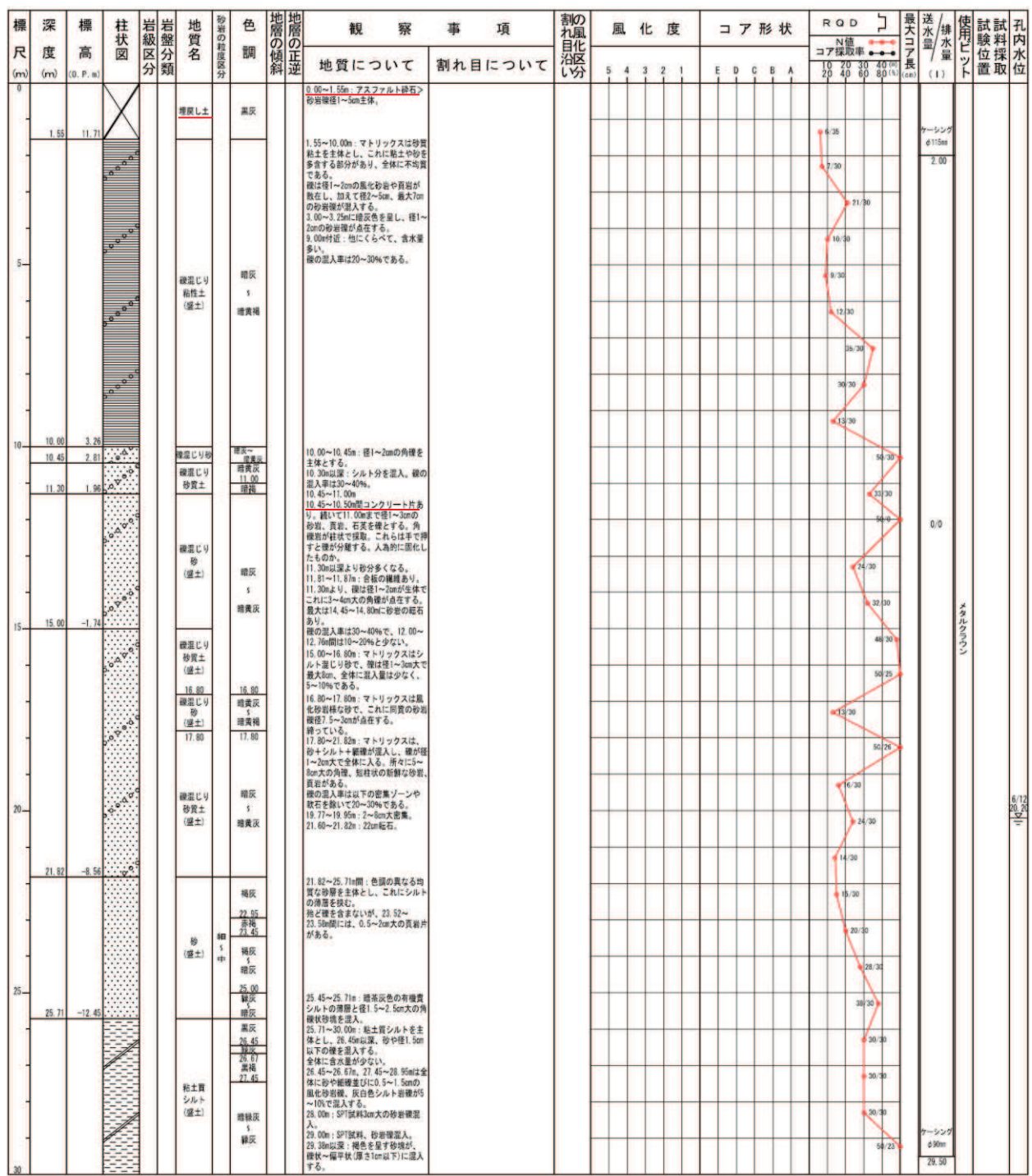
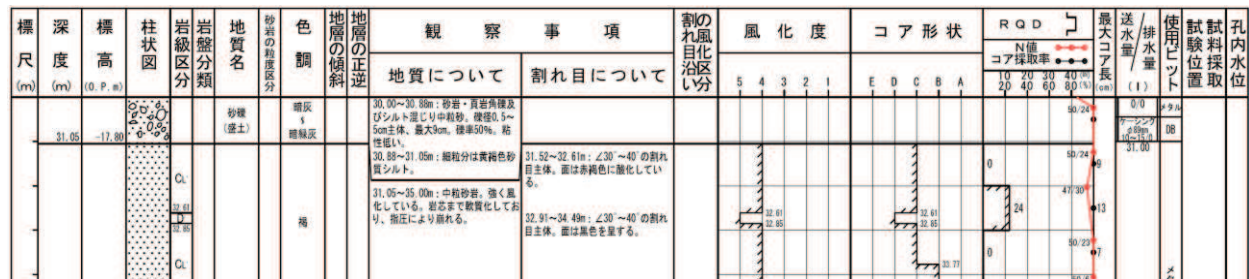
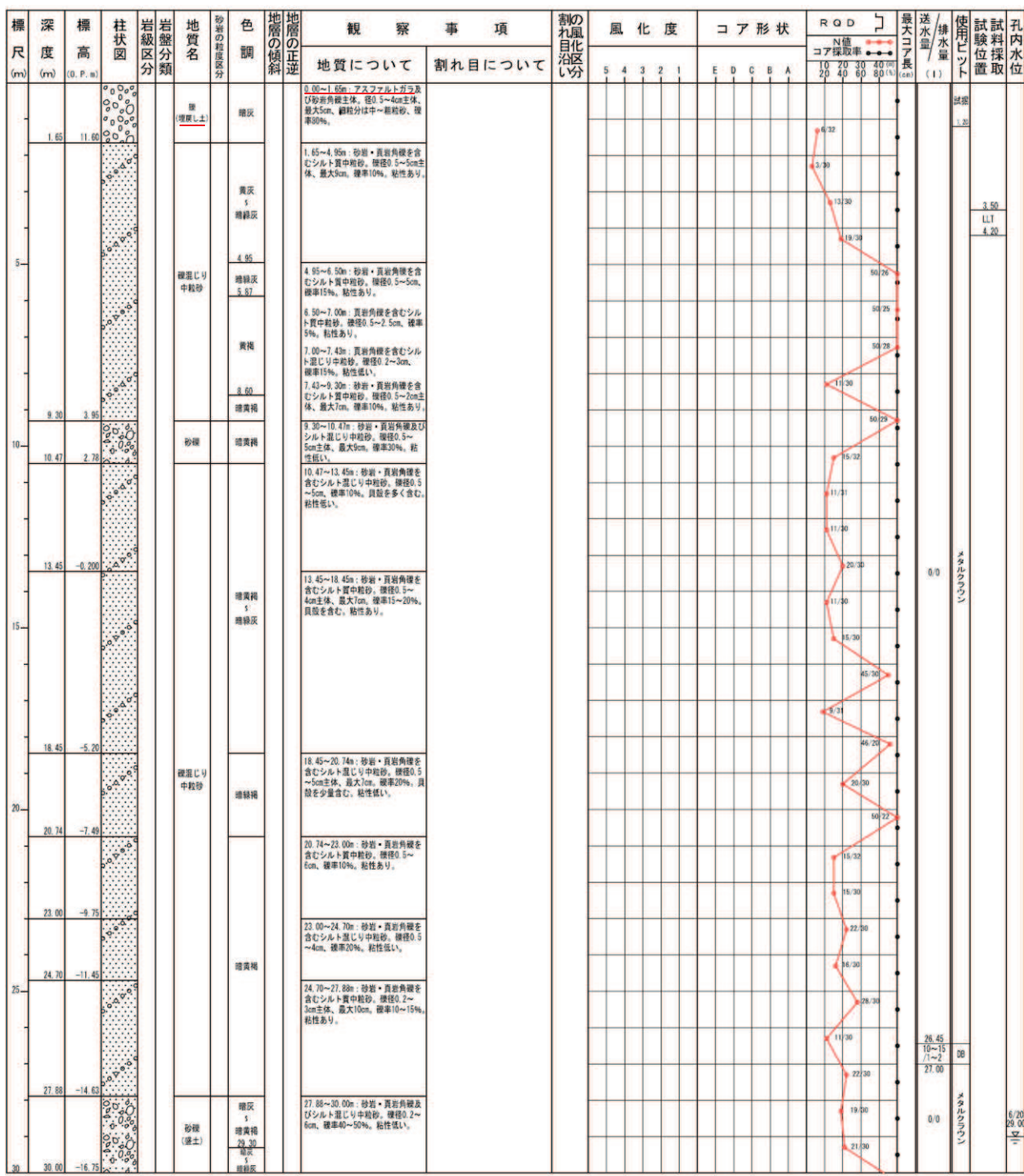


図 1-18(1) ポーリング柱状図 (25BW-15) (盛土: 深度 0~30.00m)



図 1-18(2) ポーリングコア写真 (25BW-15) (盛土 : 深度 0~30.00m)



(深度 33m 以深には岩盤が連続しており、ここではこの区間の柱状図とコア写真を割愛)

図 1-19(1) ボーリング柱状図 (25BW-16) (盛土:深度 0~31.05m)



図 1-19(2) ポーリングコア写真 (25BW-16) (盛土 : 深度 0~31.05m)

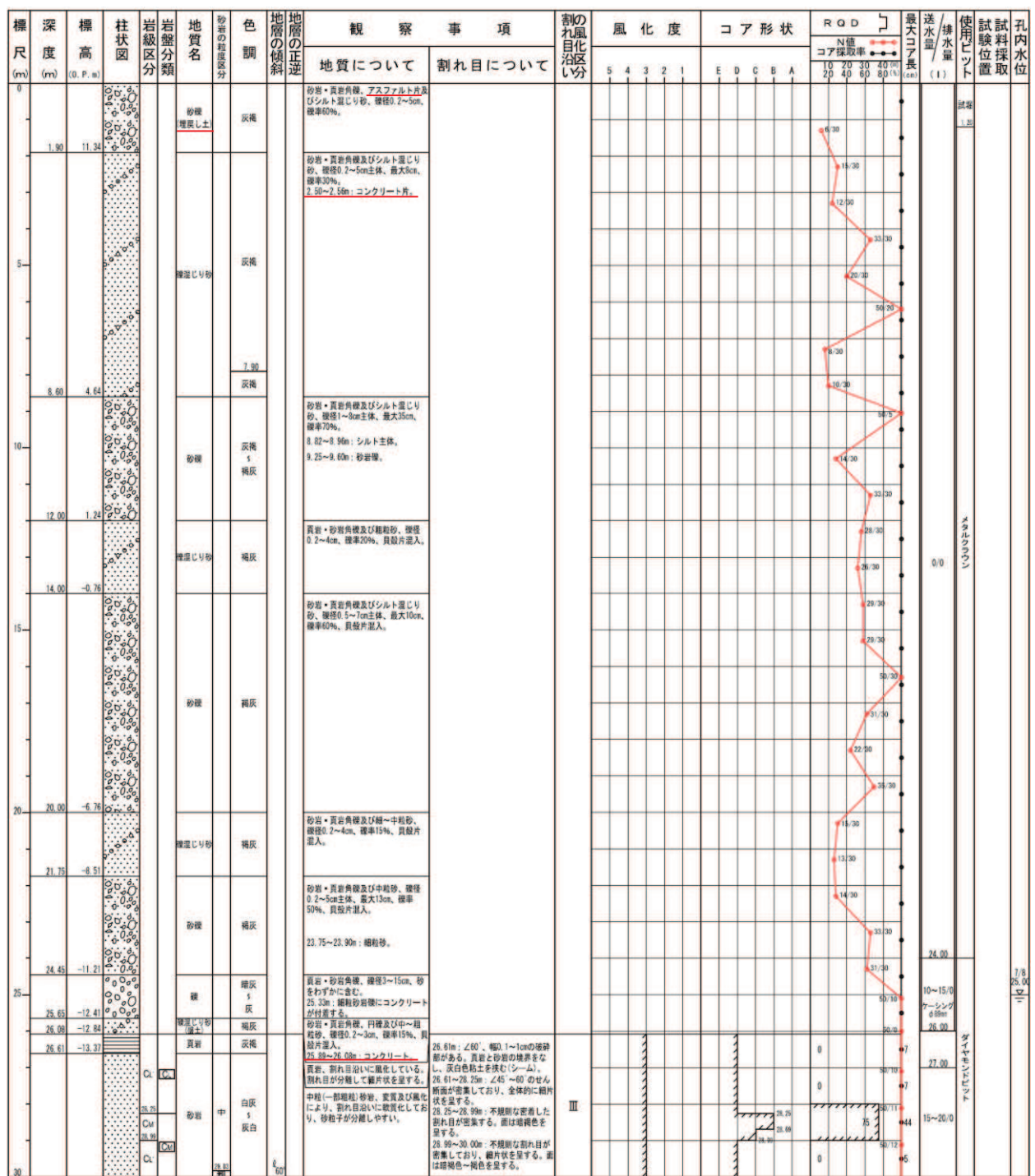


図 1-20(1) ポーリング柱状図 (25BW-17) (盛土: 深度 0~26.08m)



図 1-20(2) ポーリングコア写真 (25BW-17) (盛土 : 深度 0~26.08m)

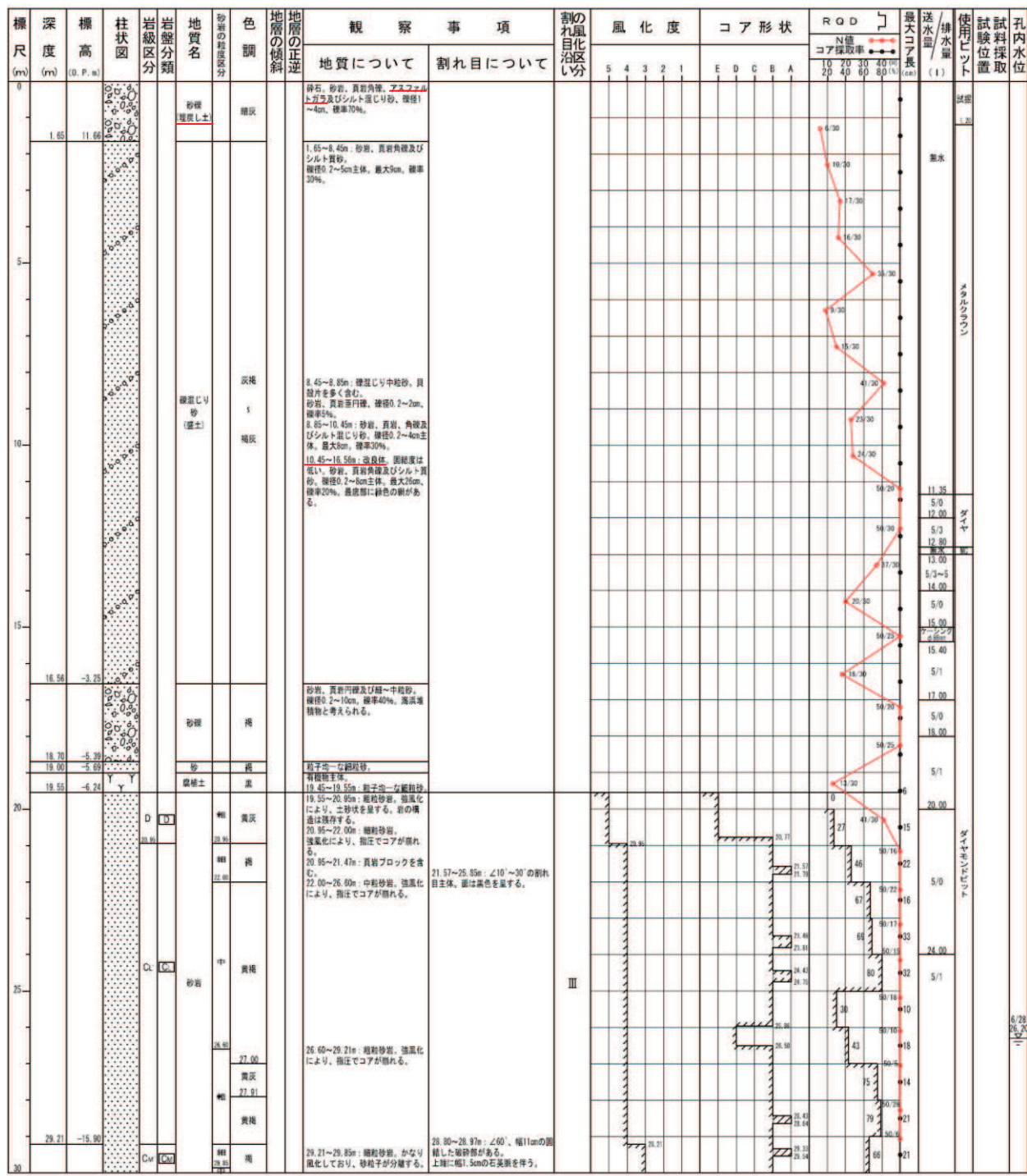


図 1-21(1) ボーリング柱状図 (25BW-18)

(盛土:深度 0~16.56m, 旧表土:深度 16.56~19.55m)

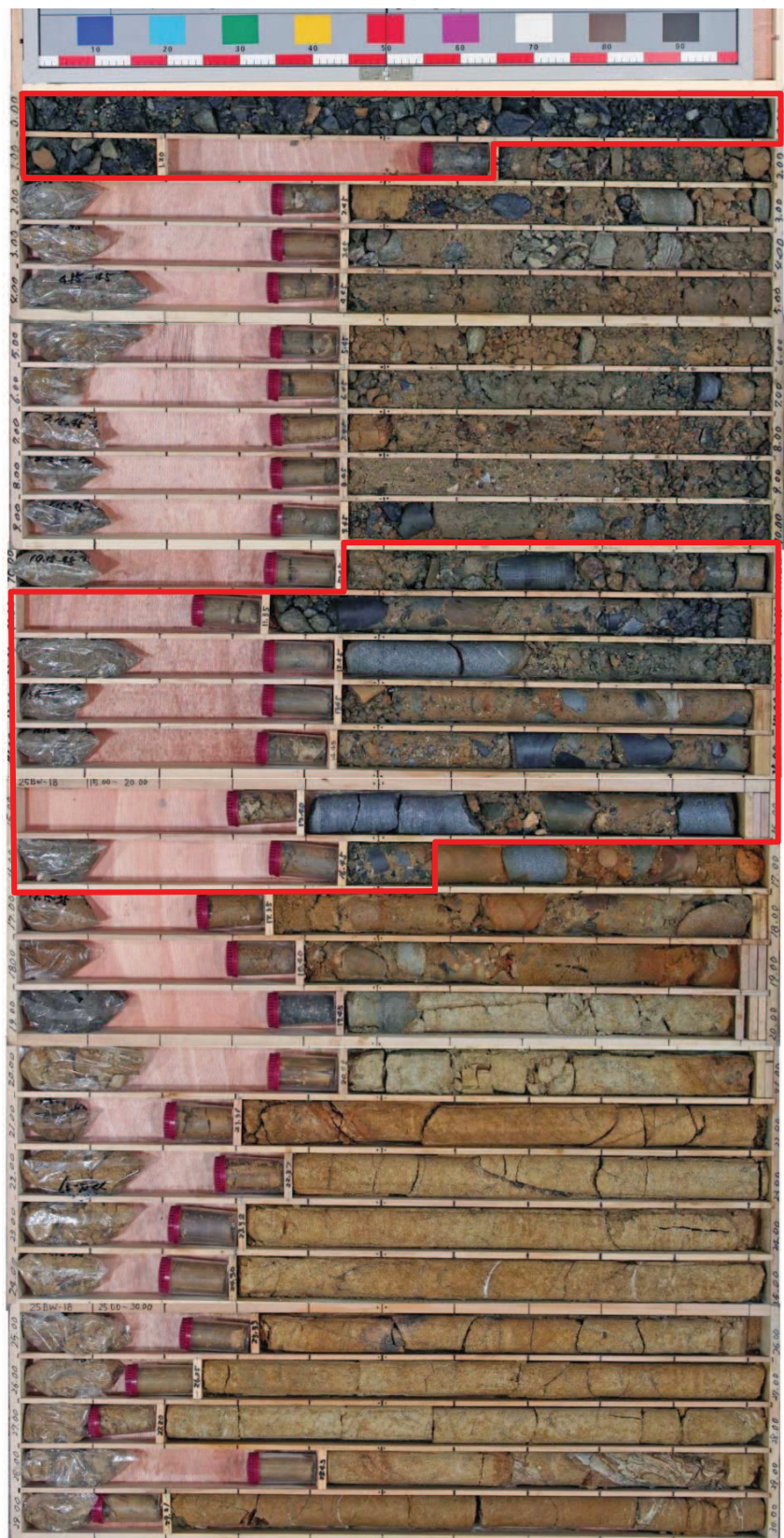


図 1-21(2) ポーリングコア写真 (25BW-18)

(盛土 : 深度 0~16.56m, 旧表土 : 深度 16.56~19.55m)

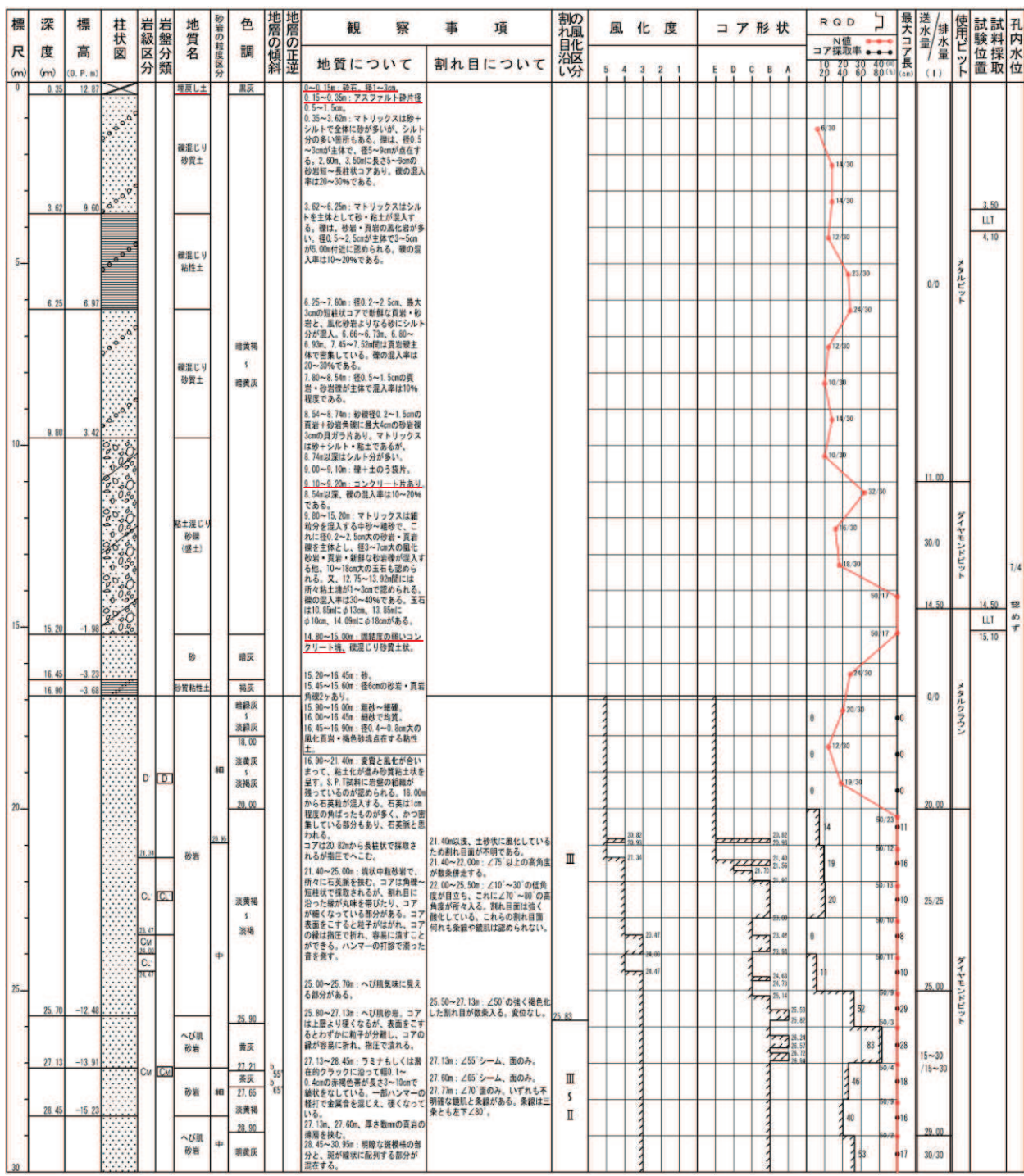


図 1-22(1) ボーリング柱状図 (25BW-19)

(盛土:深度 0~15.20m, 旧表土:深度 15.20~16.90m)

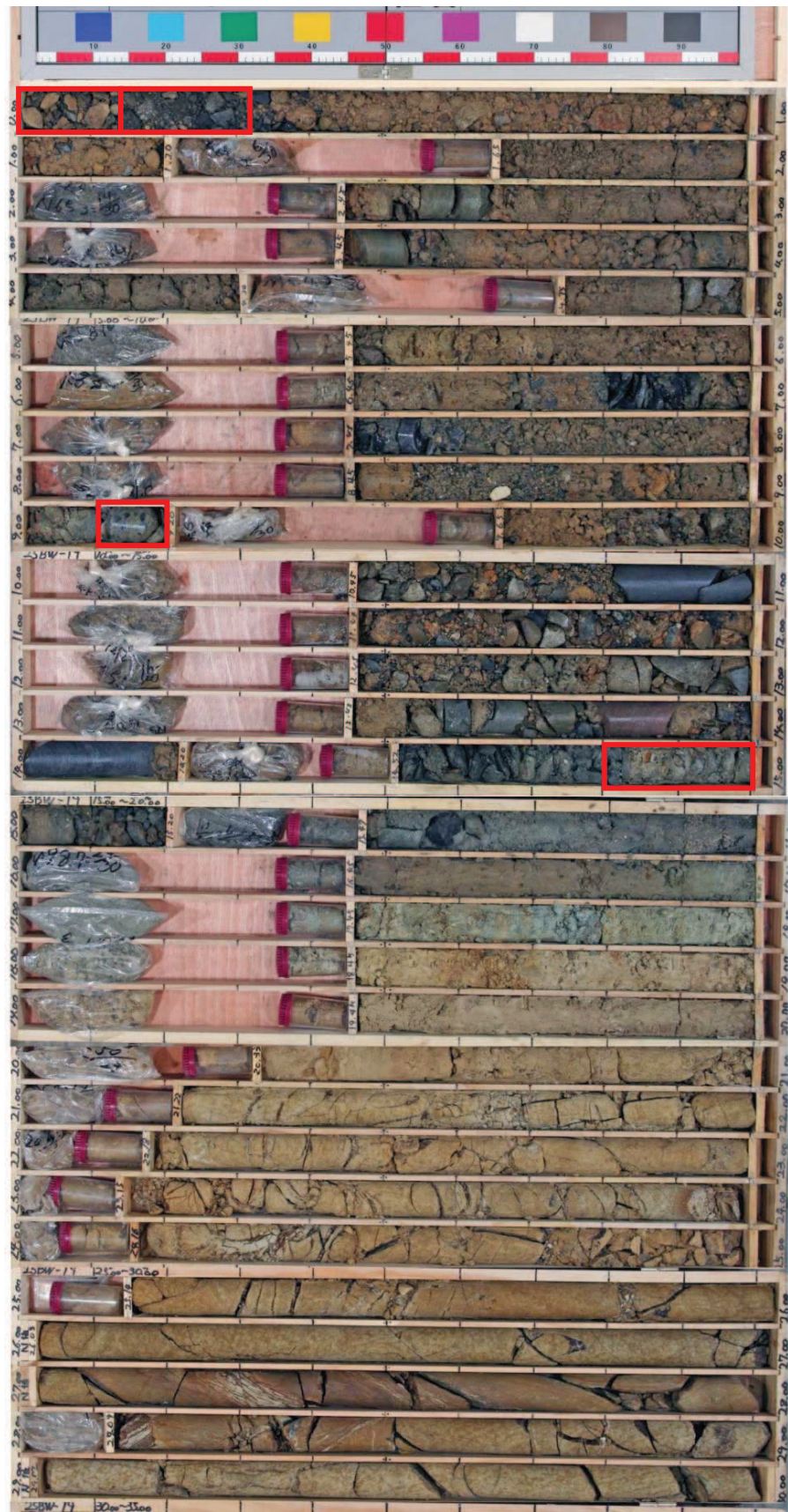


図 1-22(2) ボーリングコア写真 (25BW-19)

(盛土 : 深度 0~15.20m, 旧表土 : 深度 15.20~16.90m)

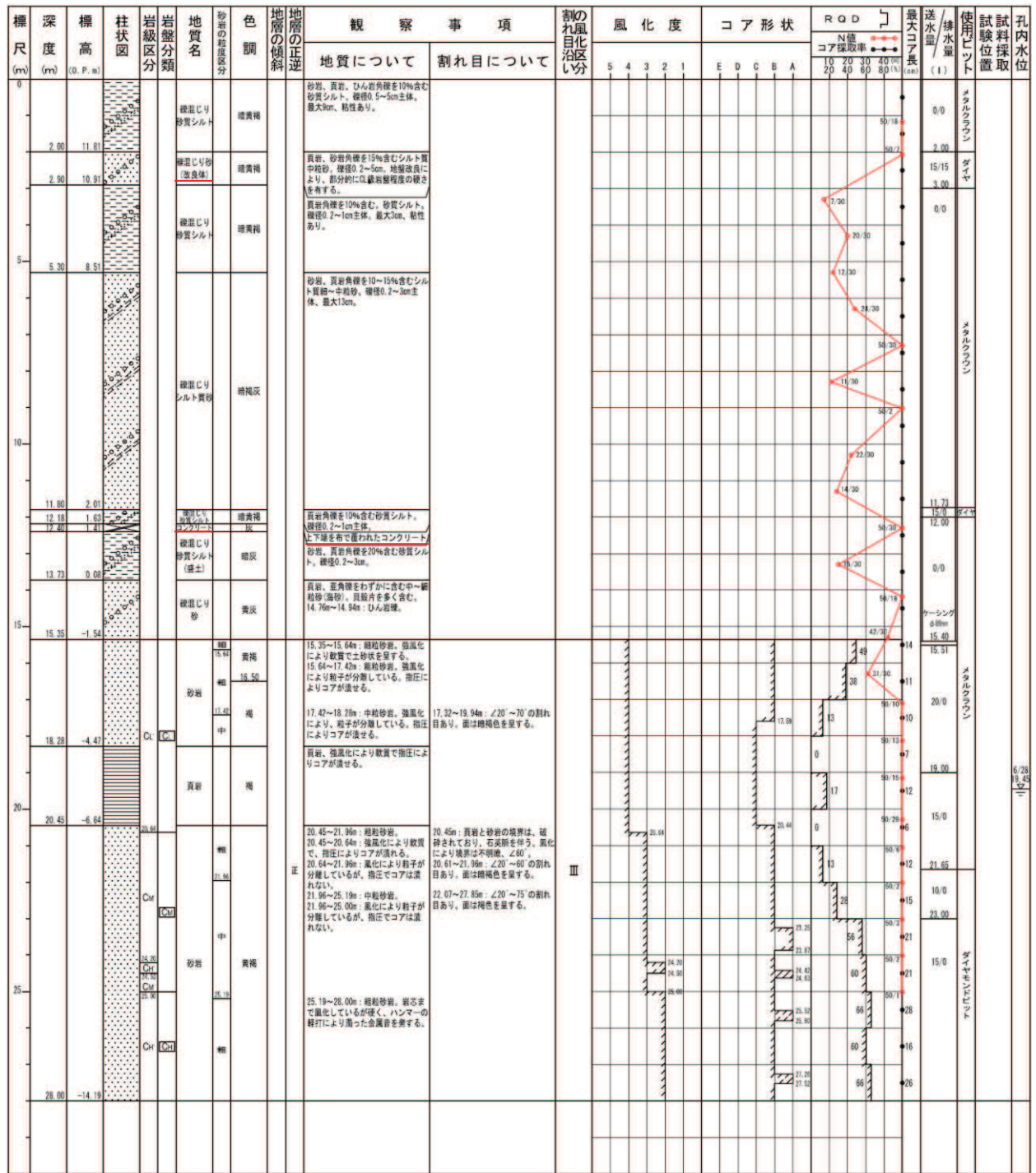


図 1-23(1) ボーリング柱状図 (25BW-20)

(盛土 : 深度 0~13.73m, 旧表土 : 深度 13.73~15.35m)



図 1-23(2) ポーリングコア写真 (25BW-20)  
(盛土 : 深度 0~13.73m, 旧表土 : 深度 13.73~15.35m)

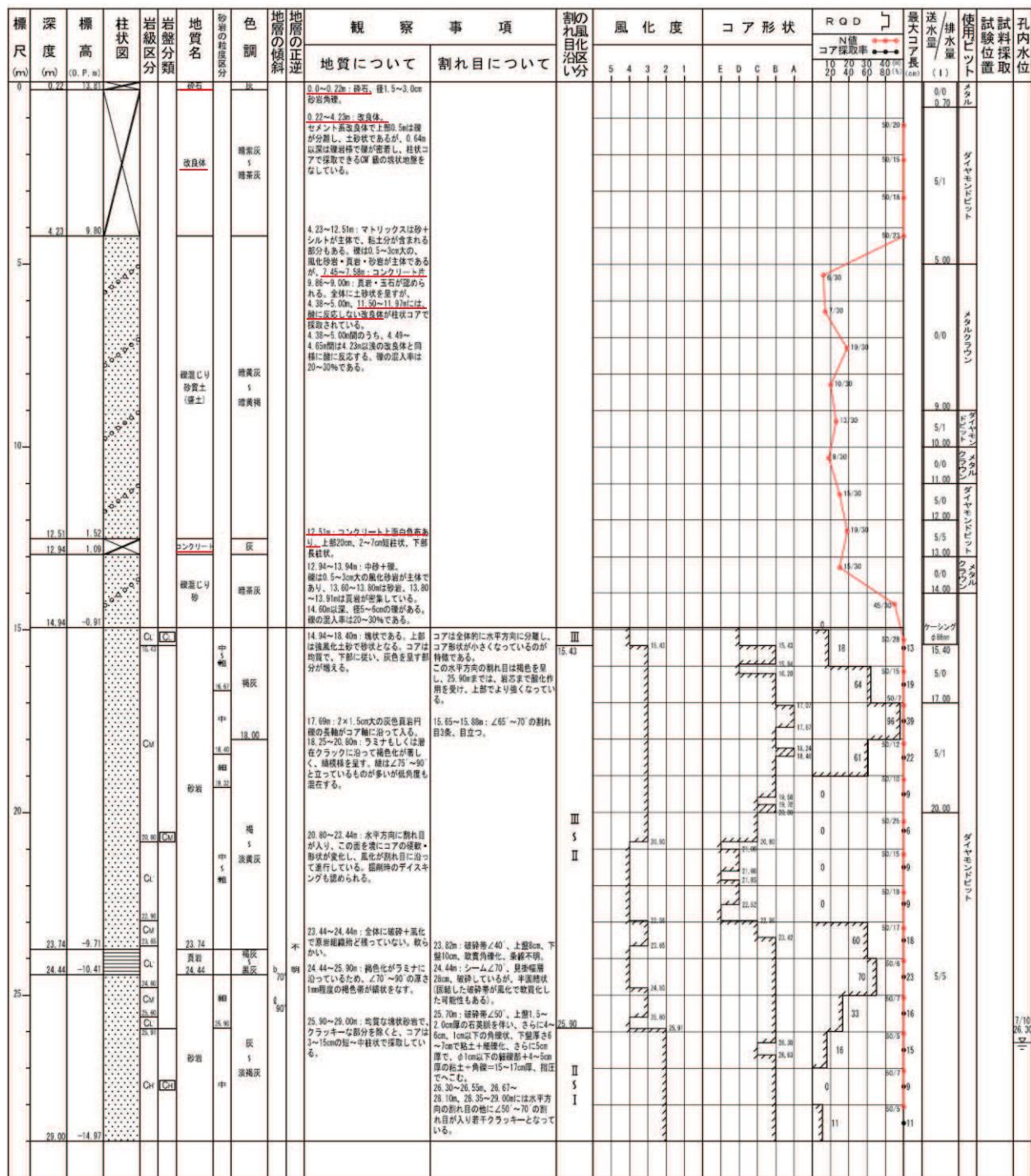


図 1-24(1) ボーリング柱状図 (25BW-21)

(盛土:深度 0~12.94m, 旧表土:深度 12.94~14.94m)



図 1-24(2) ボーリングコア写真 (25BW-21)

(盛土：深度 0～12.94m, 旧表土：深度 12.94～14.94m)

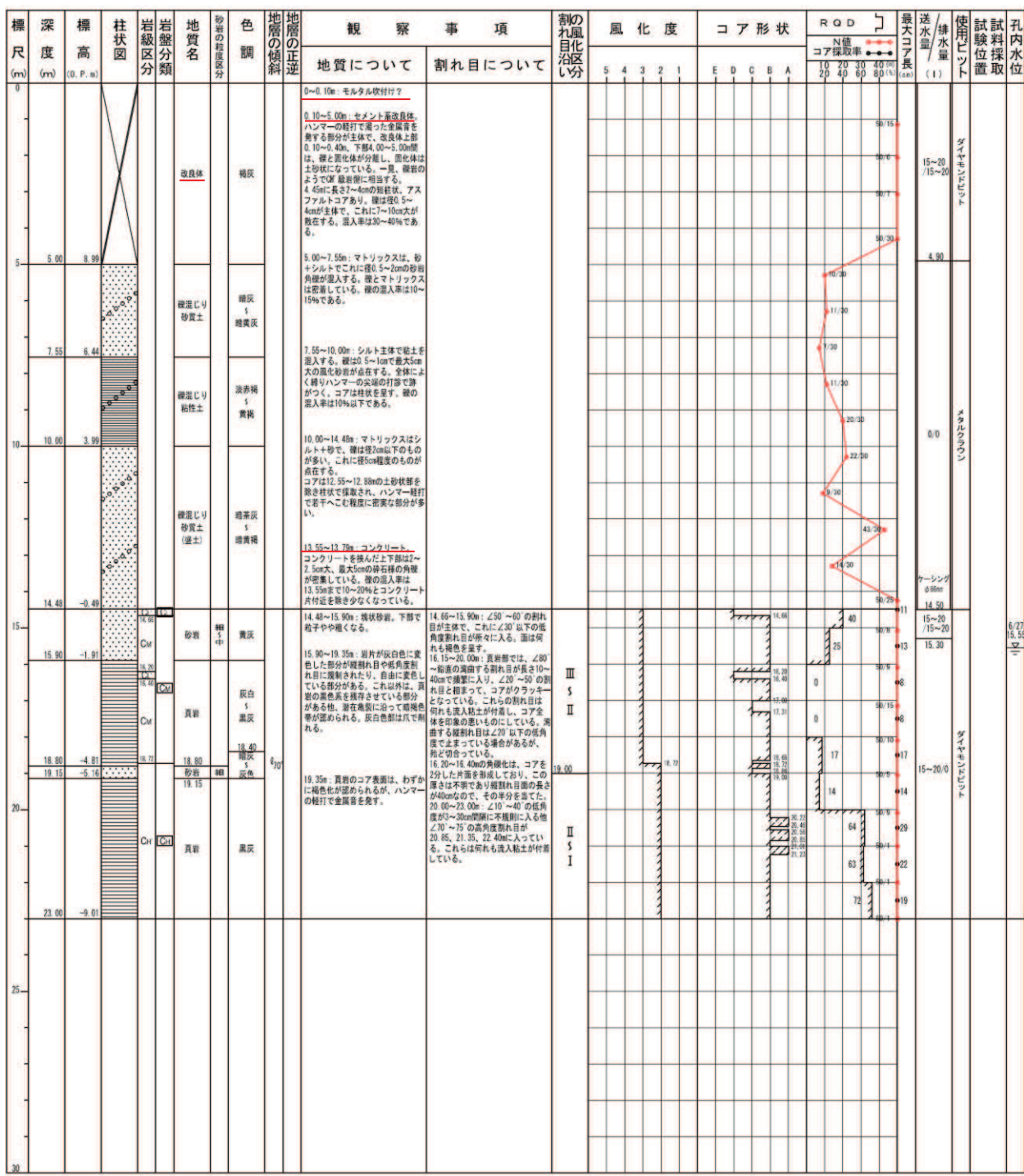


図 1-25(1) ボーリング柱状図 (25BW-22) (盛土:深度 0~14.48m)



図 1-25(2) ボーリングコア写真 (25BW-22) (盛土: 深度 0~14.48m)

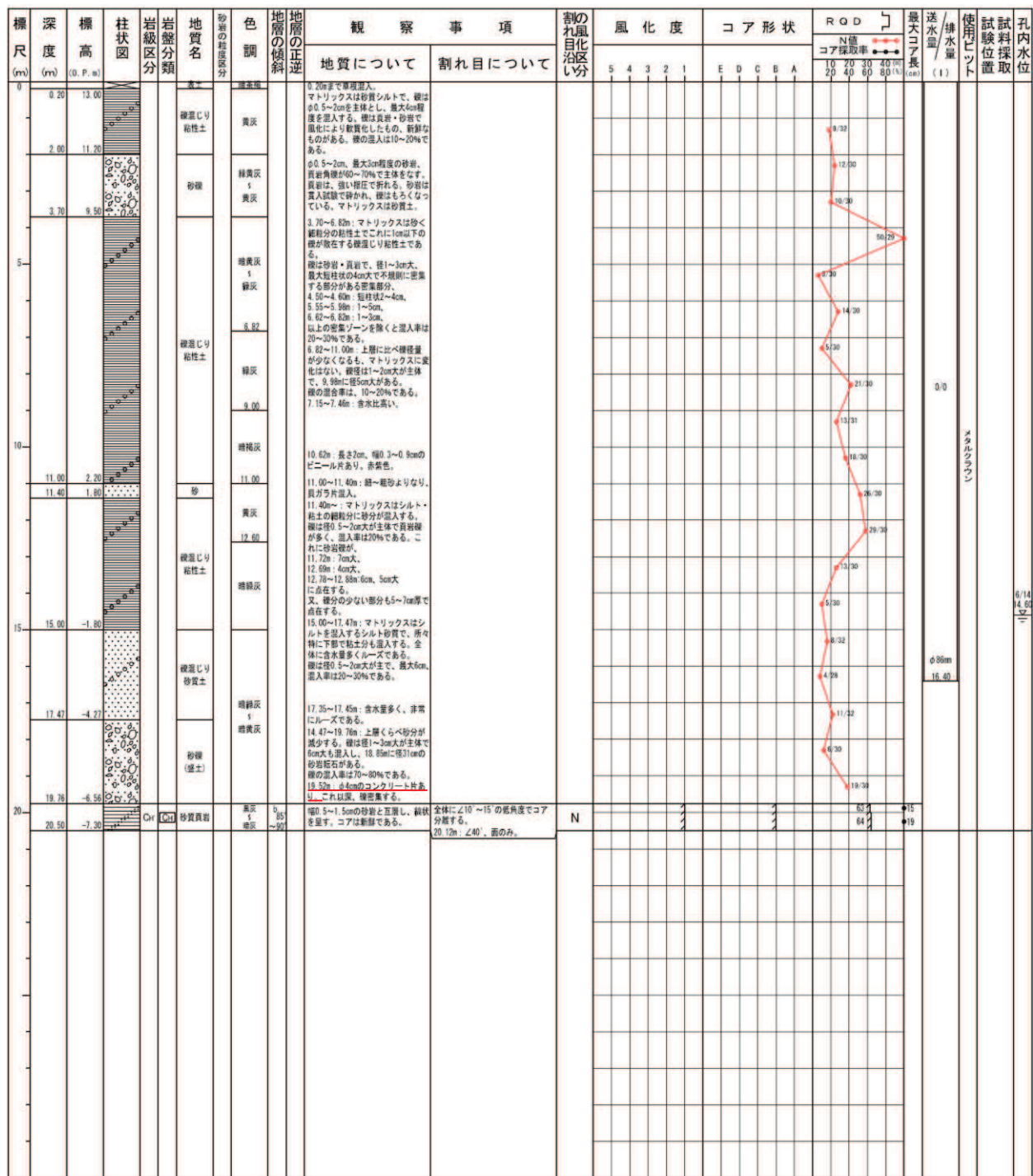


図 1-26(1) ポーリング柱状図 (25BW-23) (盛土:深度 0~19.76m)

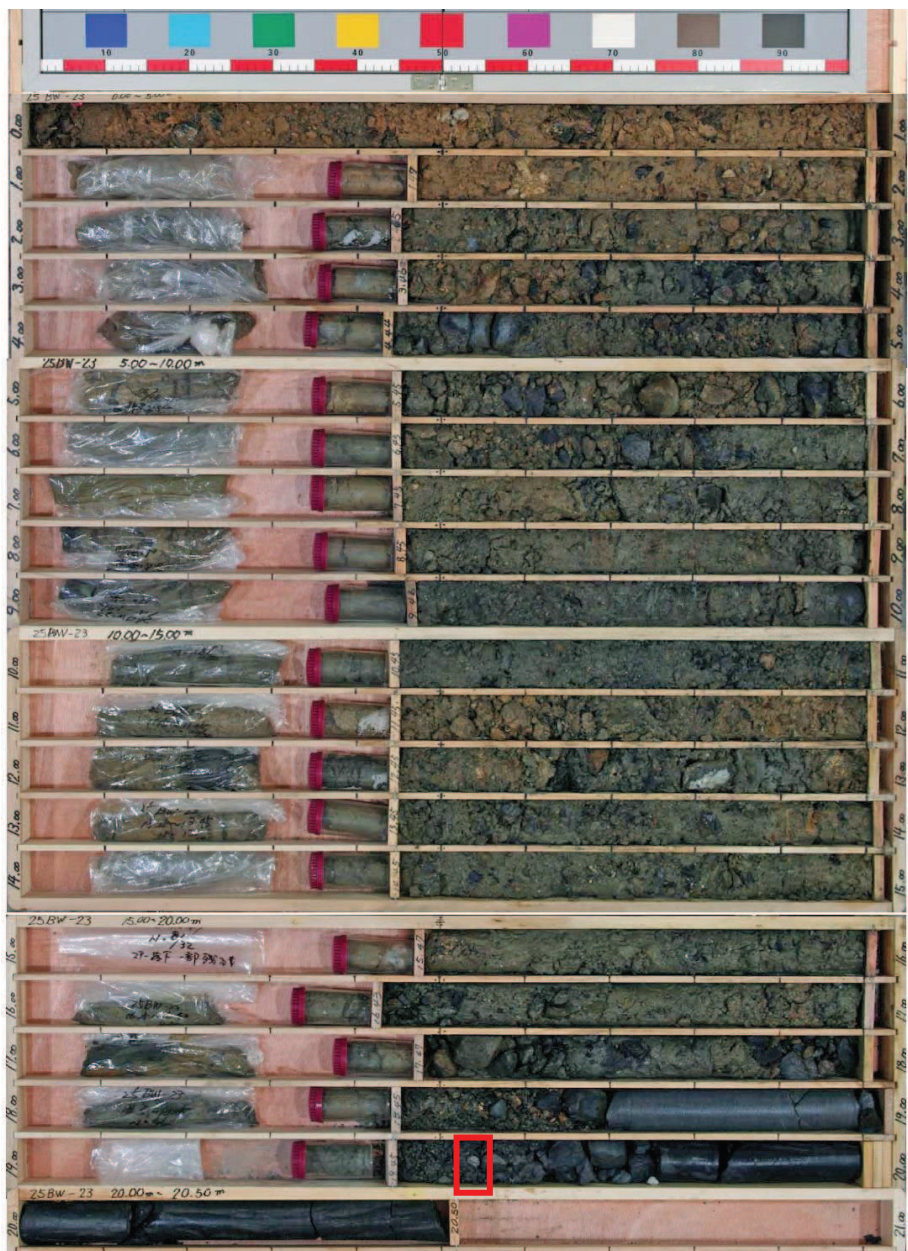


図 1-26(2) ボーリングコア写真 (25BW-23) (盛土 : 深度 0~19.76m)

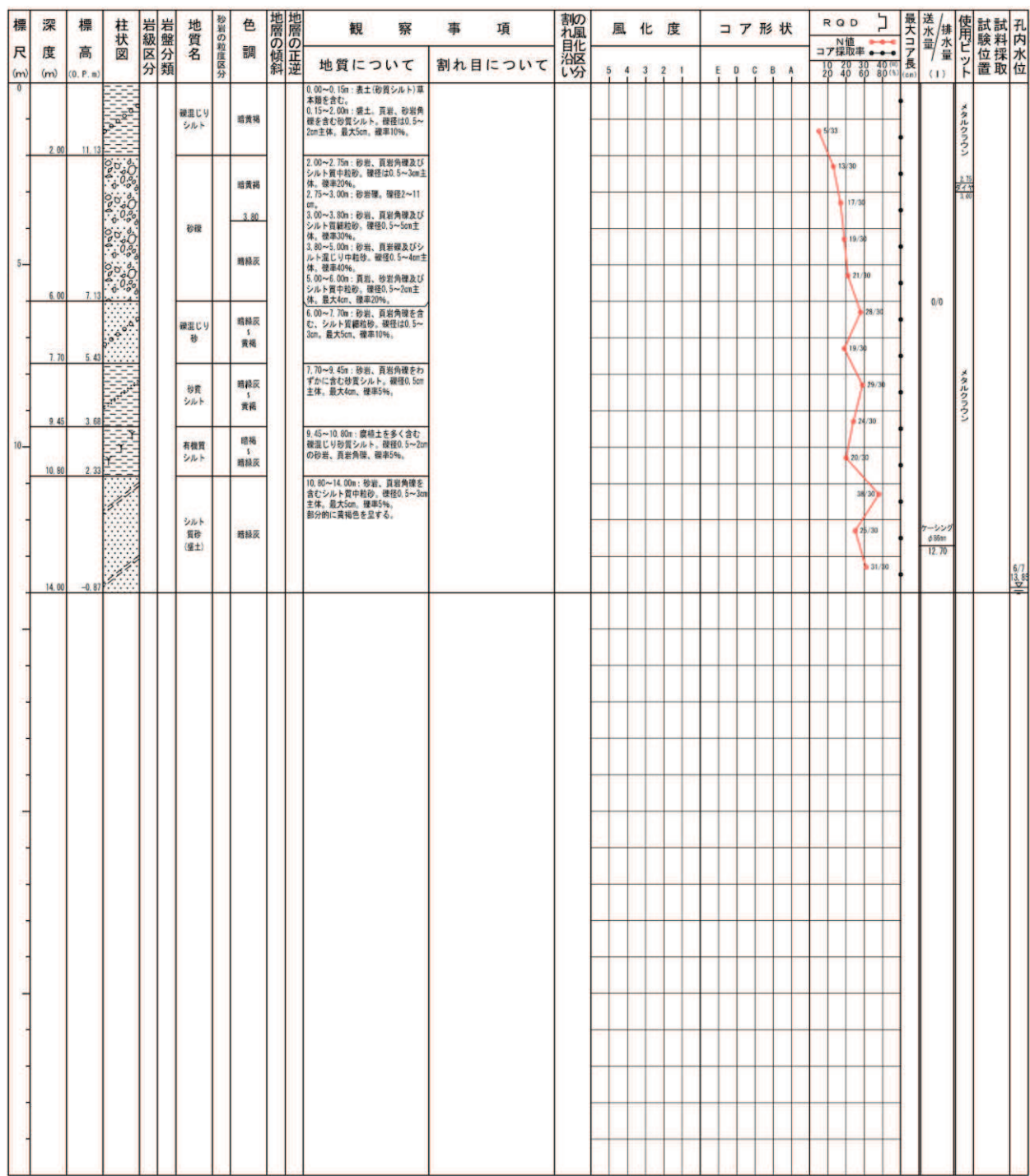


図 1-27(1) ポーリング柱状図 (25BW-24) (盛土:深度 0~14.00m)

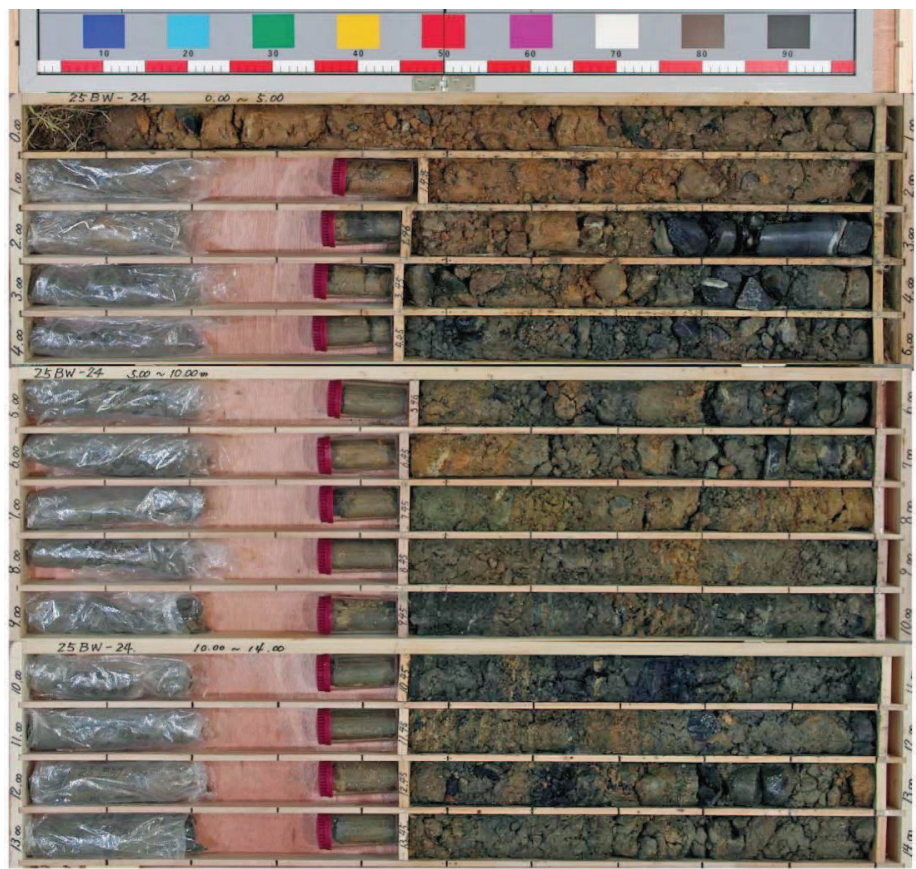


図 1-27(2) ボーリングコア写真 (25BW-24) (盛土: 深度 0~14.00m)